

Ricariani di Elettrotecnica

L'ogime periodica.

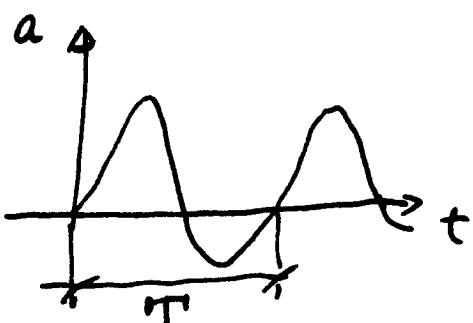
$a = f(t)$ è una grandezza periodica se

$$a = f(t) = f(t + nT)$$

per n intero assume valori uguali ad intervalli di tempo T detto periodo. Il numero di periodi nell'unità di tempo $f = \frac{1}{T}$ è la frequenza

Valore medio:

$$A_m = \frac{1}{T} \int_0^T a dt$$



È possibile definire anche il valore efficace:

$$A = \sqrt{\frac{1}{T} \int_0^T a^2 dt}$$

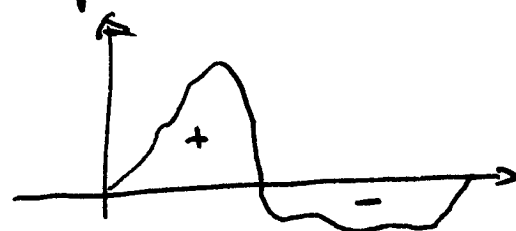
GRANDEZZE ALTERNATE

Una grandezza alternata soddisfa a:

$$A_H = \frac{1}{T} \int_0^T a dt = 0$$

cioè valore medio nullo.

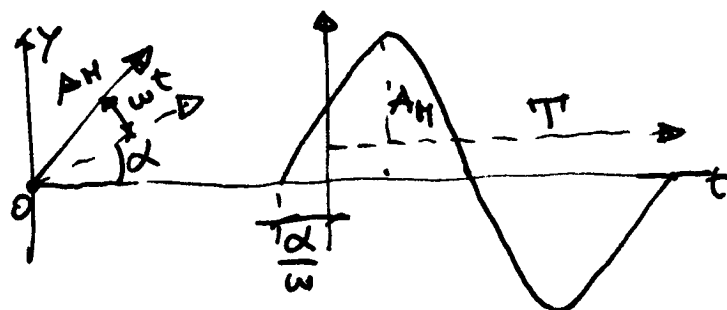
area area semioriente positiva = area
semioriente negativa



GRANDEZZE SINUOIDALI

Definita da :

$$a = A_H \sin\left(\frac{2\pi}{T} t + \alpha\right)$$



i valori istantanei corrispondono alle proiezioni sull'asse y di un segmento di lunghezza A_H rotante con velocità angolare costante $\frac{2\pi}{T} = \omega$: un intero giro 2π radienti nel tempo T (periodo)

$$\omega = \frac{2\pi}{T} = 2\pi f$$

$$a = A_H \sin(\omega t + \alpha)$$

ω = pulsazione
 α = sfasamento =
valore a $t=0$
 $\frac{\alpha}{\omega} \cdot T = \frac{\alpha}{\omega}$

Una seconda grandezza potrebbe essere rappresentata da: $b = B_H \sin(\omega t + \beta)$

Tra a e b c'è una differenza di fase $\varphi = \alpha - \beta \quad 3$

Proprietà delle grandezze sinusoidali:

- valore massimo positivo = valore massimo negativo

- valore medio della semionda positiva:

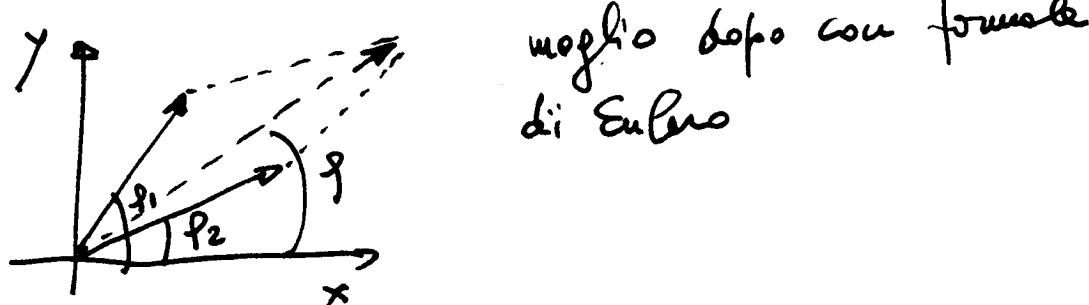
$$A_m = \frac{1}{\frac{T}{2}} \int_0^{\frac{T}{2}} A_H \sin \omega t \, dt = \frac{2}{\pi} A_H = 0,636 A_H$$

- valore efficace sul periodo:

$$A = \sqrt{\frac{1}{T} \int_0^T A_H^2 \sin^2 \omega t \, dt} = \frac{A_H}{\sqrt{2}} = 0,707 A_H$$

$$\frac{A_H}{A_m \frac{T}{2}} = \frac{\pi}{2 \cdot \sqrt{2}} = 1,11$$

- Somma di due sinusoidi = somma dei vettori
che le rappresentano = somma delle componenti x ed y .



- Derivate di una grandezza sinusoidale:

$$d = \frac{da}{dt} = \omega A_H \cos(\omega t + \alpha) = \omega A_H \sin(\omega t + \alpha + \frac{\pi}{2})$$

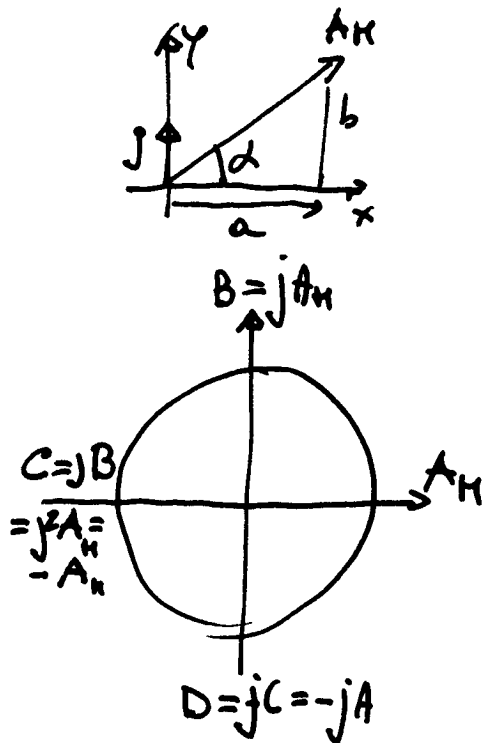
$d = \frac{da}{dt}$ onda sinusoidale di ampiezza ωA_H e fase
in anticipo di $\frac{\pi}{2}$. migliorando con formula di Euler

Rappresentazione vettoriale e sinusoidale.

La sinusode è completamente definita dal vettore di modulo A_H con posizione iniziale α e pulsazione ω .

$$a = A_H \sin(\omega t + \alpha)$$

Somme e differenze come somme e differenze di vettori'



Rappresentazione complessa.

$$A_H = a + jb \quad A_H = \sqrt{a^2 + b^2} \quad \tan \alpha = \frac{b}{a}$$

$$a = A_H \cos \alpha \quad b = A_H \sin \alpha$$

~~tan~~

$\times j$ = rotazione di 90° in anticipo

$\times j^2$ = rotazione di 180° in anticipo ($\times -1$)

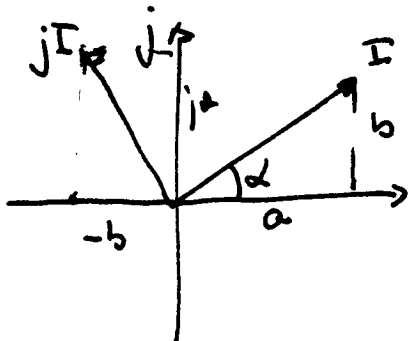
- Moltiplicare per un operatore reale :

$$I = a + jb \quad (\text{es. corrente})$$

$$V = R_a + jR_b = RI(\cos \alpha + j \sin \alpha) \quad (\text{es. tensione})$$

- Moltiplicazione per j

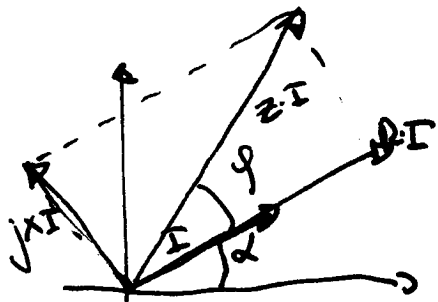
$$I = a + jb \quad jI = ja + j^2b = -b + ja$$



jI anticipo di $\frac{\pi}{2}$

ogni successiva moltiplicazione $\times j$
infriue al vettore una rotazione di 90°

- Moltiplicazione di un vettore per un numero complesso.



$$v = (R + jx) \cdot I = RI + jXI$$

$$\tan \phi = \frac{x}{R}$$

- prodotto dei moduli
- somma degli argomenti

stesso risultato si ottiene sfruttando trigonometricamente:

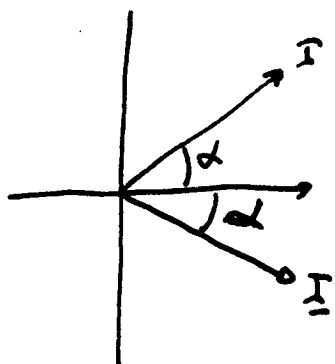
$$I = I(\cos \alpha + j \sin \alpha)$$

$$z = z(\cos \beta + j \sin \beta)$$

- uglio usando le formule di Eulero.

$$I = I e^{j\alpha} \quad z = z e^{j\beta}$$

$$v = I z e^{(a+j\beta)}$$



vettori coniugi: $I e^{j\alpha} \cdot I e^{-j\alpha} = I^2$

vettore inverso: $\frac{1}{I} = \frac{I}{I \cdot I} = \frac{I e^{-j\alpha}}{I^2} = \frac{1}{I} e^{-j\alpha}$

Somma A_1 ed A_2

$$A_1 = (A_{1x} + jA_{1y}) \cdot e^{j\omega t}$$

$$A_2 = (A_{2x} + jA_{2y}) e^{j\omega t}$$

$$A = A_1 + A_2 = [(A_{1x} + A_{2x}) + j(A_{1y} + A_{2y})] e^{j\omega t}$$

Derivate

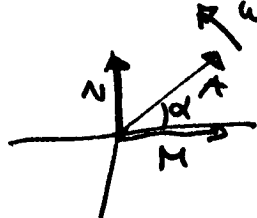
$$D(f) = \frac{d}{dt} A(t) = \frac{d}{dt} Ae^{j\omega t} = j\omega A e^{j\omega t}$$

$$D = j\omega A \quad D \text{ ruota di } \frac{\pi}{2} \text{ in anticipo}$$

Una grandezza elettrica alternata sia rappresentata da

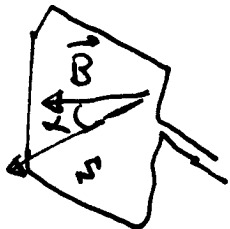
$$A = (M + jN) e^{j\omega t}$$

fase del vettore rotazione del vettore con pulsazione ω



GENERAZIONE DI UNA F.E.M. sinusoidale.

Tipicamente generate di principio da una spira piana di superficie S



$$\alpha = \text{angolo fra normale alla spira e } \vec{B}$$

$$\begin{aligned} \Phi &= \text{flusso costante} = B \cdot S \cos(\omega t + \alpha) \\ &= \Phi_0 \cos(\omega t + \alpha) \end{aligned}$$

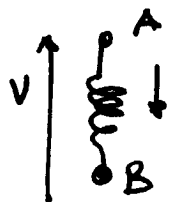
$$e = -\frac{d\Phi}{dt} = \omega \Phi_0 \sin(\omega t + \alpha) \quad \text{per una f.m. sinusoidale di valore max} = E_m = \omega \Phi_0$$

In n spire f.e.m. n volte maggiore.

le correnti alternate si invertono ad intervalli $\frac{1}{2}$ periodi e costanti; le correnti alternate offrono la possibilità di sfruttare il fenomeno delle mutue induzioni per eseguire la trasformazione in alte o basse tensione.

Circuiti elementari:

$$V = V_{AB} = V_H \sin \omega t \quad i = \frac{V}{R} = \frac{V_H}{R} \sin \omega t$$

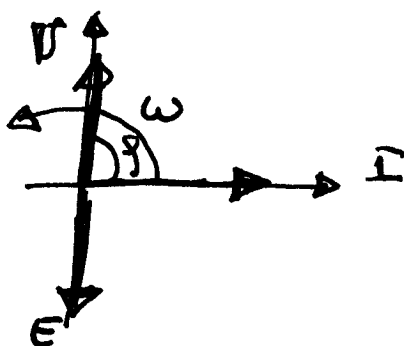


Le correnti i varieabile genera una f.e.m di' induzione $e = -L \frac{di}{dt}$. Il fatto è privo di resistenze e per mantenere le i occorre che $V + e = 0$ e $V = L \frac{di}{dt}$.

Se $\vec{I} = I e^{j\omega t}$ $\vec{V} = j\omega L \vec{I} e^{j\omega t}$ secondo l'effetto di una derivata su una grandezza alternata. $\vec{V} = j\omega L \vec{I}$

1) In regime di corrente sinusoidale la f.e.m. è in ritardo sulle correnti di 90° . La tensione V viene la f.e.m. di autoinduttiva e costituisce la caduta inductive del circuito.

potere reale = 0
 $V \cdot I \cdot \cos \varphi = P$



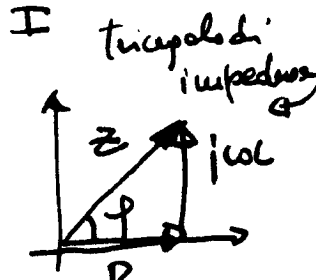
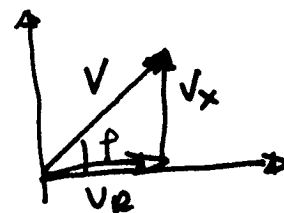
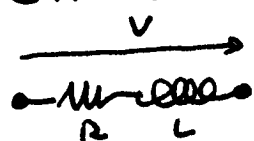
wL indicate con X_L prende il nome di reattanza induttiva. Invece di prendere vettori i usano valori efficienzi

$$I = \frac{I_H}{\sqrt{2}} \quad V = \frac{V_H}{\sqrt{2}}$$

$$\vec{V}_x = jX \vec{I}$$

$$V_x = X \cdot I$$

Circuito ohmico-induttivo



$$\vec{V}_R = R \cdot \vec{I}$$

$$\vec{V}_x = jX \vec{I} \quad x = \omega L \quad Z = R + j\omega L$$

$$\text{impedenza } Z = \sqrt{R^2 + x^2}$$

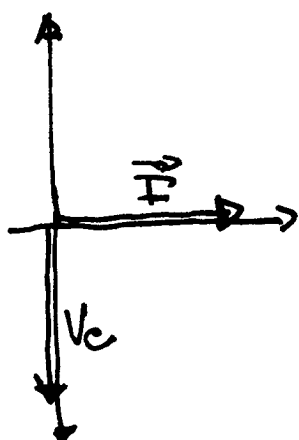
$$\tan \phi = \frac{x}{R}$$

$$q = C \cdot V \quad i = \frac{dq}{dt} \quad i = C \frac{dV}{dt}$$

$$\text{In alternato: } \vec{V} = V e^{j\omega t} \quad \vec{I} = \frac{d}{dt} \vec{q}(t) \cdot C = \left(\frac{d}{dt} [V e^{j\omega t}] \right) = j\omega C V e^{j\omega t} \\ = j\omega C \vec{V}$$

~~$$\vec{I} = \frac{1}{j\omega C} \vec{V}$$~~

$$x_C = \frac{1}{j\omega C}$$



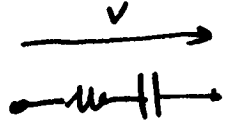
x_C = reattanza capacitive = reazione dilettrica di C
ottenuta da arco e sonica su C
connesso in C un antifase di 90° su \vec{V}_C
in termini di valori efficienzi

$$I = \frac{V_C}{j\omega C}$$

Potenza reale = 0

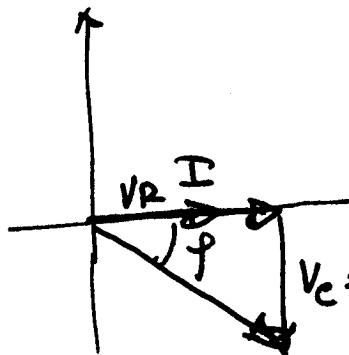
Circuito ohmico-capacitivo.

9

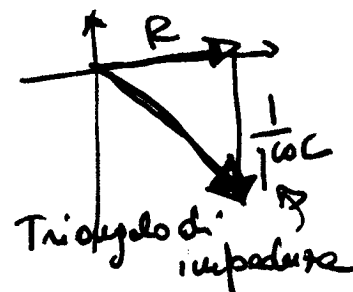


$$\vec{V}_R = R \vec{I} \quad \vec{V}_C = \frac{1}{j\omega C} \vec{I}$$

$$Z = \sqrt{R^2 + \left(\frac{1}{\omega C}\right)^2} \quad t_{pf} = \frac{x_C}{R}$$



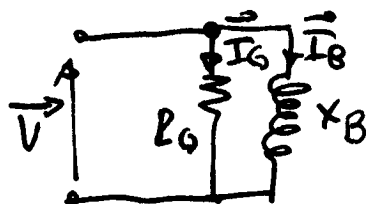
$$Z = R + \frac{1}{j\omega C}$$



Triangolo di impedenza

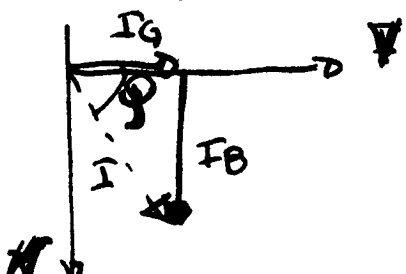
ohmico induuttivo e ohmico capacitivo equivalenti a
porta il segno opposto delle reattanze.

Circuiti paralleli.



Analogamente ai circuiti serie dove
il riferimento è la corrente e si
scompongono le tensioni (V_R, V_X) per

il riferimento è \vec{V} e si scompongono le correnti.



I_G in fase con vettore \vec{V} componente attiva
 I_B in quadratura (ritardo di 90° nell'induttanza)
componente reattiva

$$I_G = \varsigma \cdot V$$

$$I_B = B \cdot V$$

$$\varsigma = \frac{1}{j\omega B}$$

$$B = \frac{1}{X_B}$$

Conduttanza
(Siemens)

Induttanza
(Siemens)

$$\vec{Y} = \text{ammittanza} = \frac{1}{Z}$$

Legge di Ohm generalizzata: $\vec{V} = Z \cdot \vec{I}$

$$\vec{I} = \vec{Y} \cdot \vec{V}$$

$$\bar{Y} = \vec{G} - j\vec{B}$$

circuito equivalente
parallelo dato $Z(Rx) =$

$$\bar{Y} = \frac{1}{Z} = \frac{1}{R+jX} = \frac{R-jX}{Z^2} = \frac{R}{Z^2} - j\frac{X}{Z^2} = G - jB$$

$\uparrow G$ $\uparrow B$

$$| \bar{Y} | = \sqrt{G^2 + B^2} \quad \tan \phi = -\frac{B}{G}$$

analoga mente si ricava il circuito equivalente serie

$$Z = R + jX$$

proteusto del circuito parallelo definito da $\bar{Y} = G - jB$

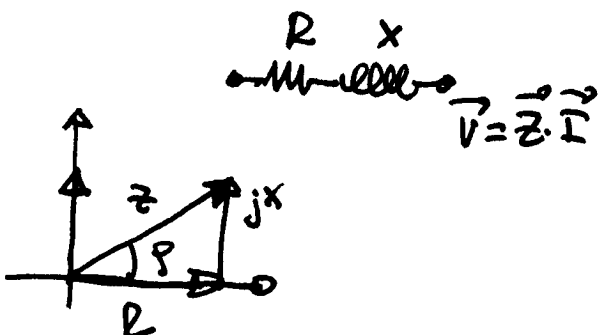
$\frac{1}{\bar{Y}} = \bar{Z}$ seguendo il ragionamento precedente.

Esempi

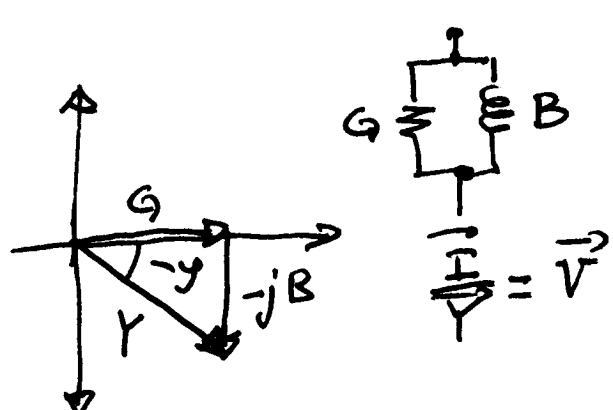
Assumiamo di $\bar{Z} = \vec{R} + j\vec{X}$ in serie $\bar{Y} = \frac{1}{\bar{Z}} = \frac{1}{\vec{R} + j\vec{X}}$

$$Y = \frac{R - jX}{R^2 + X^2} = \frac{R}{R^2 + X^2} - j \frac{X}{R^2 + X^2} = G - jB$$

$\uparrow G$ $\uparrow B$
 conductanza suscettanza

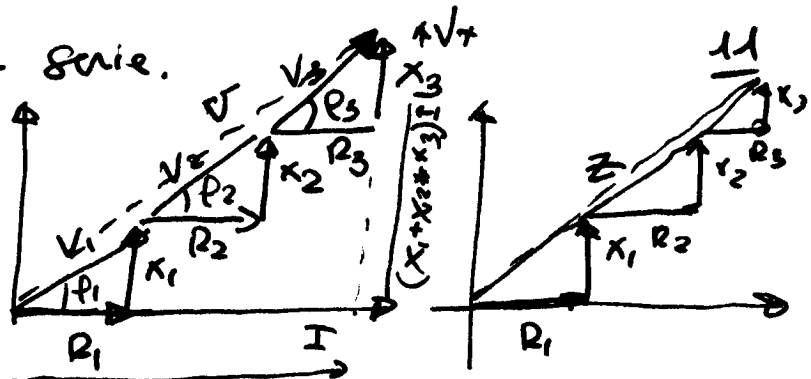
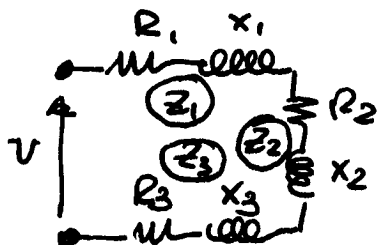


Triangolo delle
impedenze



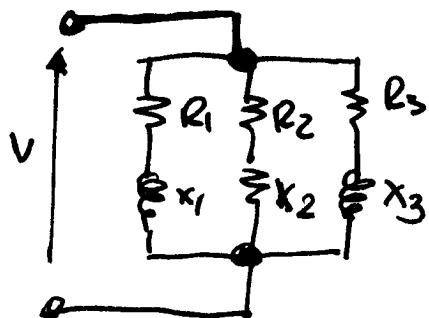
Triangolo delle
admittenze.

Impedance inductive in serie.



$$V_R = (R_1 + R_2 + R_3) I$$

Impedance inductive in parallelo.

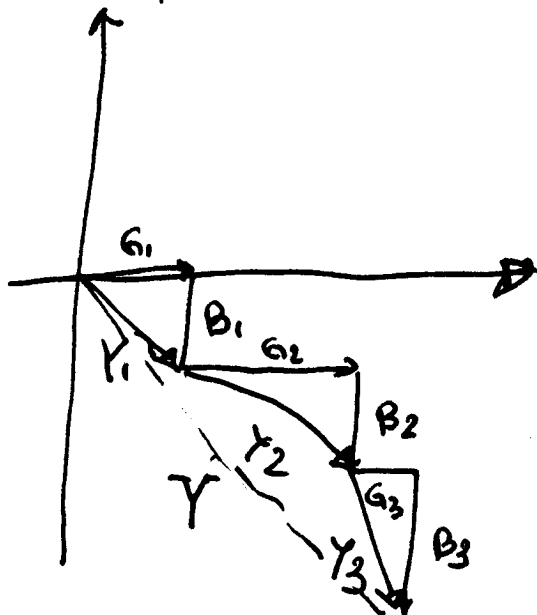
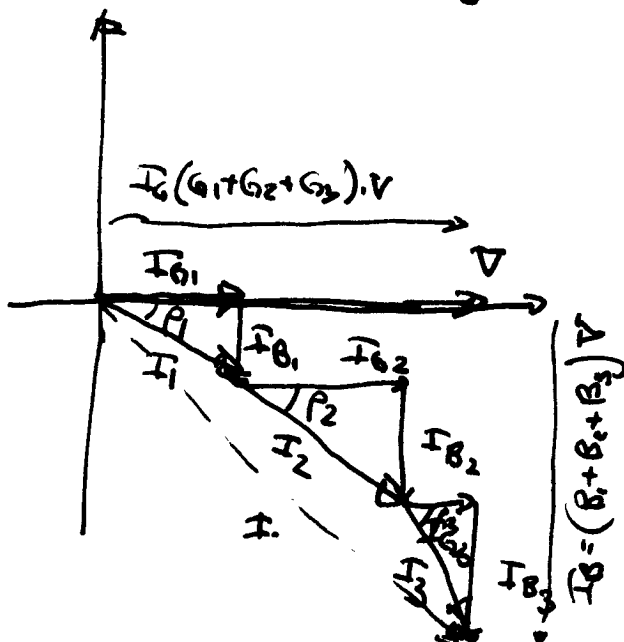


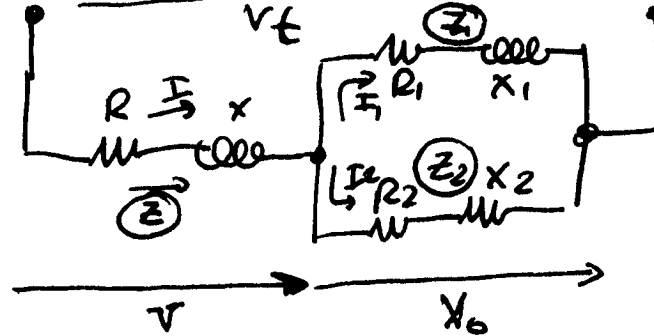
$$I = \left(\frac{1}{Z_1} + \frac{1}{Z_2} + \frac{1}{Z_3} \right) V = \left(Y_1 + Y_2 + Y_3 \right) \cdot V$$

$$Y_1 = \frac{1}{Z_1} = \frac{R_1}{R_1^2 + X_1^2} - j \frac{X_1}{R_1^2 + X_1^2}$$

$$\vdots$$

$$Y_3$$





$$\vec{V}_o = \vec{Z}_1 + \vec{Z}_2 = \vec{Z}_1 + \vec{I}_2$$

$$\vec{V} = \vec{Z} \cdot \vec{I}$$

$$\vec{V}_t = \vec{V} + \vec{V}_o$$

Dado \vec{V}_o $\vec{I}_1 = \frac{\vec{V}_o}{\vec{Z}_1} = V_o Y_1 = \frac{\vec{V}_o}{R_1 + jX_1} = \left[\frac{R_1}{R_1^2 + X_1^2} - j \frac{X_1}{R_1^2 + X_1^2} \right] \vec{V}_o$

$$\vec{I}_2 = \frac{\vec{V}_o}{\vec{Z}_2} = \frac{\vec{V}_o}{R_2 + jX_2} = \left[\frac{R_2}{R_2^2 + X_2^2} - j \frac{X_2}{R_2^2 + X_2^2} \right] \vec{V}_o$$

$$\begin{aligned}\vec{I}_1 &= (G_1 - jB_1) \vec{V}_o \\ \vec{I}_2 &= (G_2 - jB_2) \vec{V}_o\end{aligned}$$

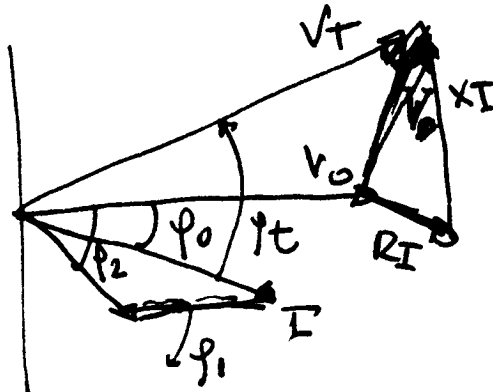
$$\vec{I} = [G_1 + G_2 - j(B_1 + B_2)] \vec{V}_o$$

$$\text{faz } \varphi_o = -\frac{B_1 + B_2}{G_1 + G_2} \quad \text{faz } \varphi_1 = -\frac{B_1}{G_1} \quad \text{faz } \varphi_2 = -\frac{B_2}{G_2}$$

$$\vec{V} = \vec{Z} \cdot \vec{I} = (R + jX) \cdot [G_1 + G_2 - j(B_1 + B_2)] \vec{V}_o$$

$$\vec{V}_t = \vec{V} + \vec{V}_o$$

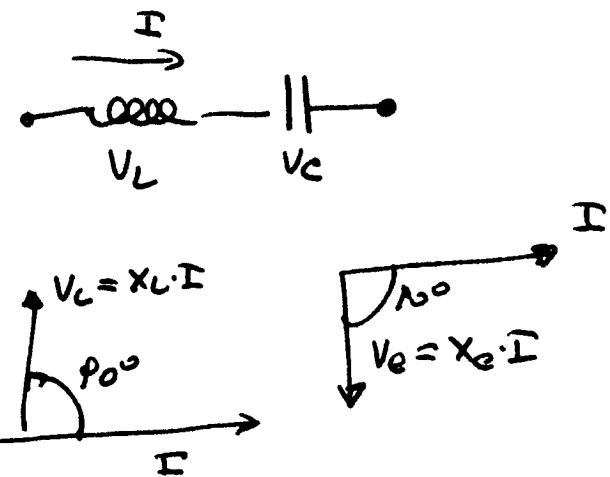
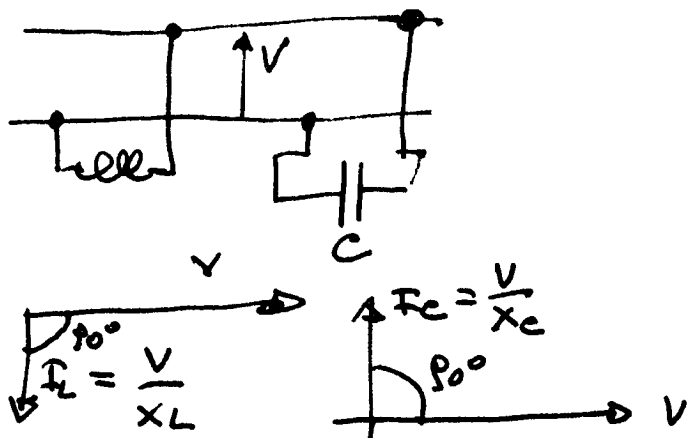
$$= \left\{ 1 + [R(G_1 + G_2) + X(B_1 + B_2)] + j[X(G_1 + G_2) - R(B_1 + B_2)] \right\} \vec{V}_o$$



$$\vec{Z}_t = \vec{Z} + \frac{1}{Y_1 + Y_2}$$

$$\begin{aligned}\vec{Z} &= R + jX \\ Y_1 &= G_1 - jB \\ Y_2 &= G_2 - jB\end{aligned}$$

Effetto di capacità ed induzione

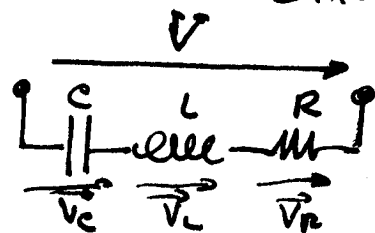


tensione = produzione
di raffrimento parallelo

circuiti resistivi - capacitive.

Tutto come con inductorii e però $X_C = \frac{1}{j\omega C}$
 $V_C = \frac{1}{j\omega C} I$ alla quale si contrappone la resistenza
 induttiva $j\omega L$. X_C e X_L sono contrari

Circuiti in C.D. con R, L, C serie

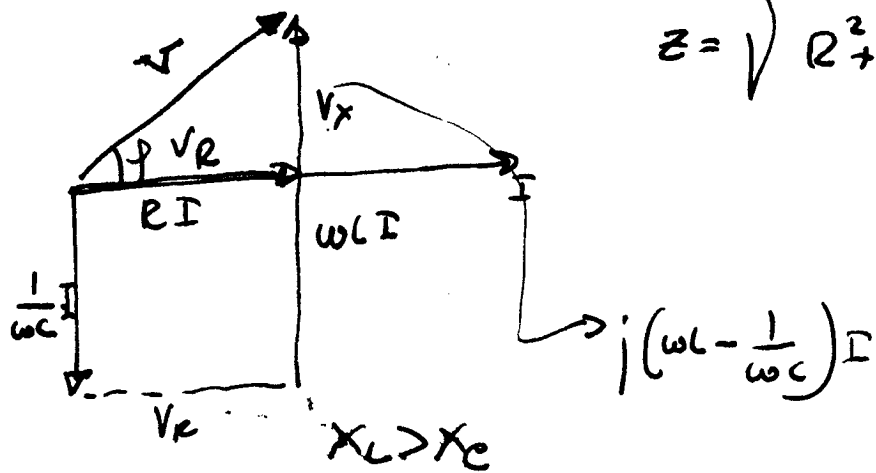


$$\vec{V}_R = R \cdot I \quad \vec{V}_L = j\omega L \quad \vec{V}_C = \frac{1}{j\omega C} I$$

$$\vec{V} = \left[R + j \left(\omega L - \frac{1}{\omega C} \right) \right] \cdot \vec{I}$$

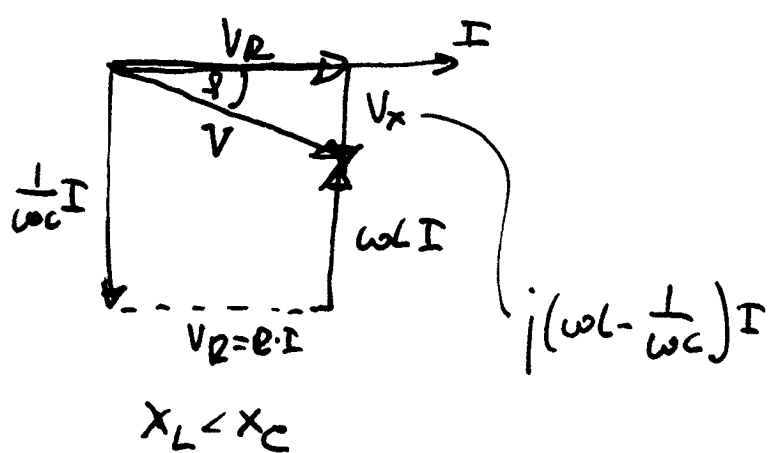
$$Z = \sqrt{R^2 + \left(\omega L - \frac{1}{\omega C} \right)^2}$$

$$\tan \varphi = \frac{\omega L - \frac{1}{\omega C}}{R}$$

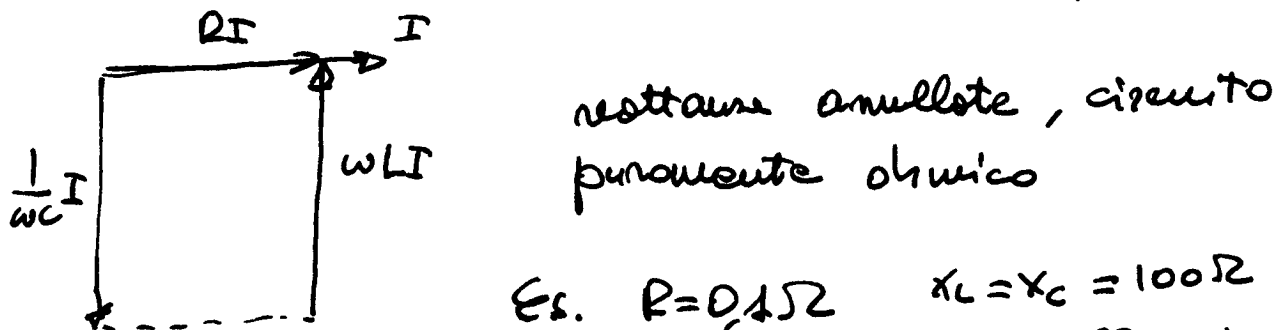


14

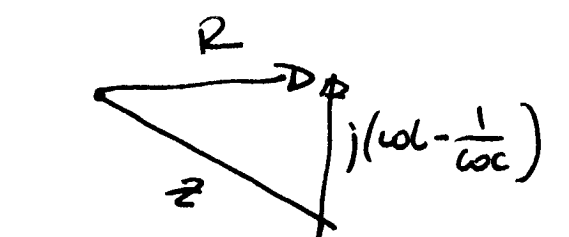
azione di compenso fra le due reattanze.
reattanze complessive e corrente induttiva o capacitiva



reattanze uguali: $|j\omega L| = \frac{1}{|j\omega C|}$ $X_L = X_C$
Risonanza



Ese. $R = 0,152$ $X_L = X_C = 100 \Omega$
 $V = 1V$ $I = 10A$ alla risonanza
 $V_L = V_X = 1000V$ autogenerazione
di due tensioni interne.



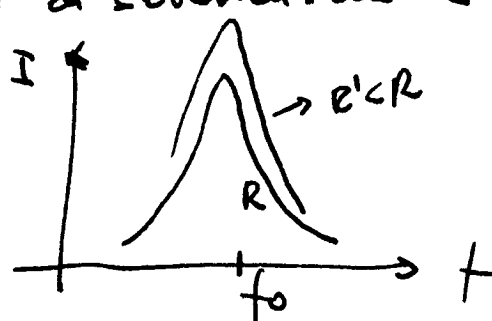
Tritangolo delle
impedenze.

$$\omega_0 L - \frac{1}{\omega_0 C} = 0$$

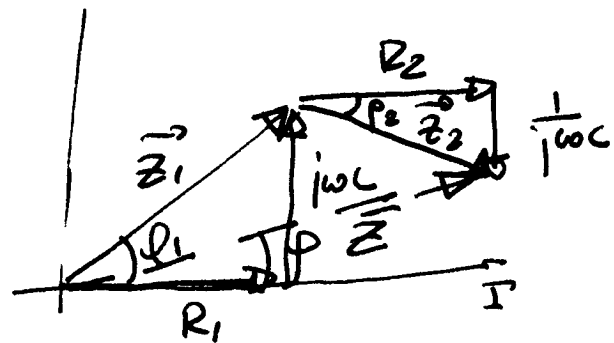
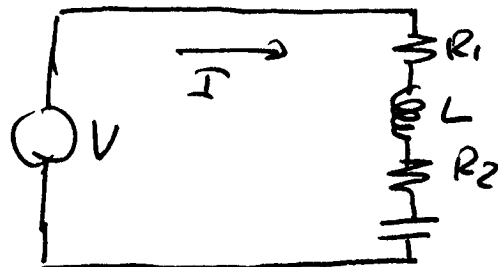
$$f_0 = \frac{1}{2\pi\sqrt{LC}} \quad I_0 = \frac{V}{R}$$

sono tensioni induttive e capacitive

Coefficiente di correttura: $= \frac{V_L}{V} = \frac{\omega_0 L I}{R I} = \frac{\omega_0 L}{R}$



Es.

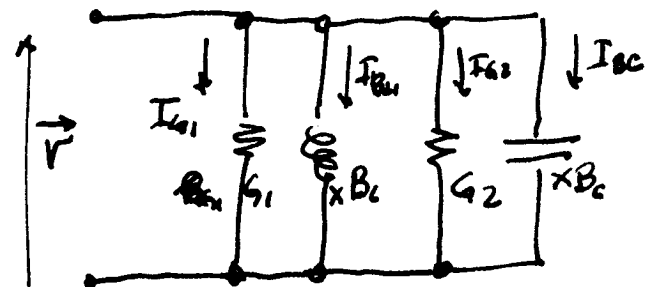
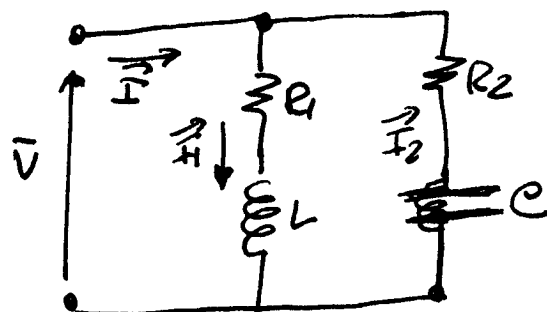


$$\bar{Z} = (R_1 + R_2) + j(\omega L - \frac{1}{\omega C})$$

$$t_{ff} = \frac{\omega L - \frac{1}{\omega C}}{R_1 + R_2}$$

Triangolo delle impedenze.
equivale a Triangolo delle tensioni.

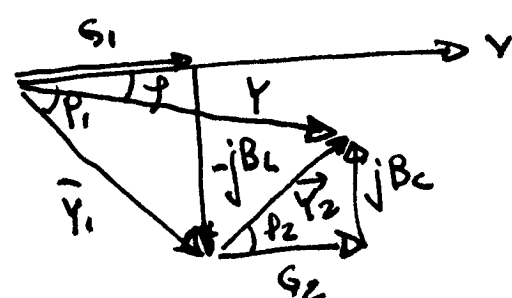
Circuiti a.c. R, L, C parallelo



$$\vec{Y}_1 = \frac{1}{R_1 + j\omega L} = G_1 - jB_L$$

$$\vec{Y}_2 = \frac{1}{R_2 + \frac{1}{j\omega C}} = G_2 + jB_C$$

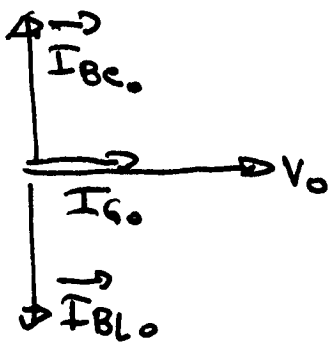
$$\vec{Y} = G_1 + G_2 - j(B_L - B_C)$$



Confusione delle due suscettanze = risonanza parallela

$$B_L = B_C$$

$$\frac{\omega_0 \cdot L}{Z_1^2} = \frac{1}{\omega_0 C Z_2^2} \Rightarrow f_0 = \frac{1}{2\pi\sqrt{LC}} \sqrt{\frac{CR_1^2 - L}{CR_2^2 - L}}$$



In Risonanza

16

$$\text{concrete } I_0 = G_0 V_0 = \left(G_{10} + G_{20} \right) \cdot V_0 \\ = \left(\frac{B_1}{Z_{10}^2} + \frac{B_2}{Z_{20}^2} \right) \cdot V_0$$

concenti reattive

$$I_{BL0} = I_{BC0} = B_{L0} V_0 = B_{C0} V_0 = \frac{\omega_0 L}{Z_{10}^2} V_0 = \frac{1}{\omega_0 C^2} V_0$$

Potenza.

Dipende dalla relazione di fase fra le tensioni e corrente

In qualsiasi circuito avente uno o più elementi passivi fra corrente e tensione, si può sempre risolvere con una tensione o corrente in fase ad una in quadratura. Potenza in fase, per esempio in una resistenza:

$\frac{P}{V}$ Potenza reale, sia vettorialmente, sia con valori effettivi si ricava da $P = X \cdot I$ puramente ohmico

In quadratura con esse - o + - le tensioni e le correnti sono sfasate di 90° . L'energia è alternativamente assorbita e rilasciata e non dissipata, quindi Potenza reale = 0. In comuni circuiti la corrente e la tensione sono sfasati di un angolo ϕ



$$P = V \cdot I \cdot \cos \phi \text{ (watt)} = P_a \cos \phi$$

$$Q = V \cdot I \cdot \sin \phi \text{ (VAR)} = P_a \sin \phi$$

$$P_a = \text{potenza apparente} = V \cdot I$$

$$P_a^2 = \sqrt{P^2 + Q^2}$$

- Resistori:

presente in un circuito imponeva una valle elevata di resistenza. Contiene anche una induttanza L ed una capacità C

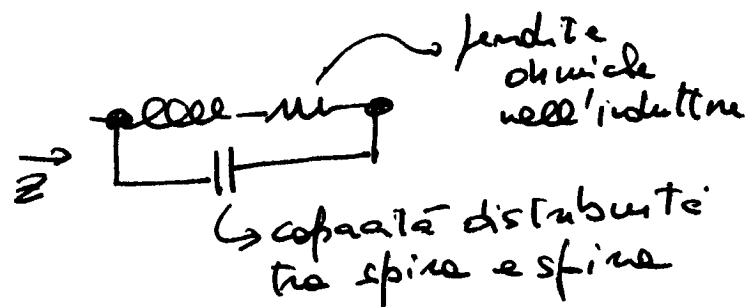


$$\text{Se } \omega L \ll R \text{ ed } \frac{1}{\omega C} \gg R$$

valido per un certo intervallo di frequenze se L e C sono piccole.

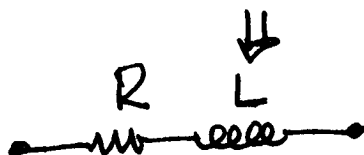
- Induttori:

Circuito equivalente:



$$Z = \frac{j\omega L}{1 - \omega^2 LC} \Rightarrow L_{\text{eq.}} = \frac{L}{1 - \omega^2 LC}$$

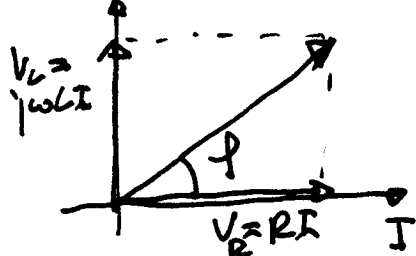
per frequenze più piccole di $\omega_0^2 = \frac{1}{LC}$ l'induttore è uno induttore



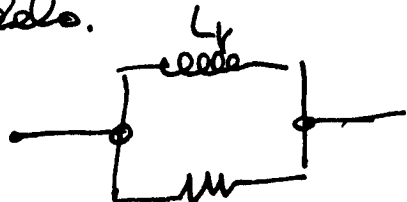
e l'induttore sarà tanto più perfetto quanto minore è la R rispetto a ωL

fattore di merito $Q = \tan \phi$ $Q = \infty \Rightarrow$ induttore ideale

$$= \tan \phi = \frac{\omega L}{R}$$

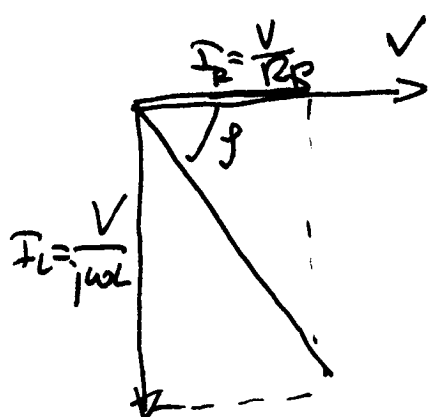


Può essere comodo rappresentare le perdite con una resistenza R_p parallela. 2



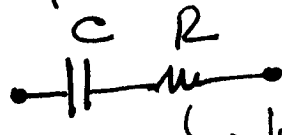
$$\frac{1}{R_p} + \frac{1}{j\omega C_p} = \frac{1}{R + j\omega L} = Y \quad \Rightarrow \quad \frac{1}{\omega L p} = \frac{\omega L}{R^2 + \omega^2 L^2}$$

$$\frac{1}{R_p} = \frac{R}{R^2 + \omega^2 L^2}$$

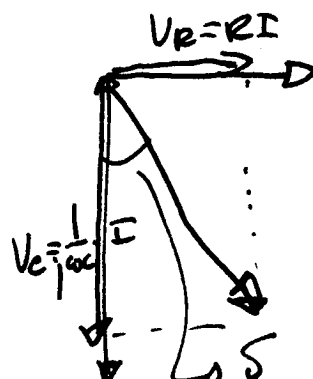


$$Q = f_g \varphi = \frac{V/\omega L p}{V/R_p} = \frac{R_p}{\omega L}$$

- Capacità.



↳ perdite di concento
in dielettrico

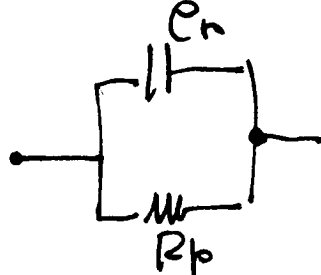


$$f_g \Gamma = \frac{RI}{I} = \omega R C$$

$\tan \delta = \text{angolo di perdite}$
aumenta con le perdite

stesse cose come per L con C

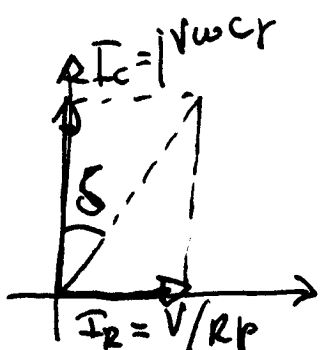
- circuiti paralleli



$$\frac{1}{R_p} + j\omega C_p = \frac{1}{R - j\frac{1}{\omega C}}$$

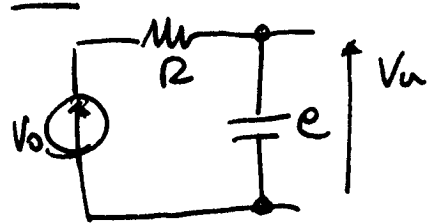
$$\frac{1}{R_p} = \frac{R}{R^2 + \frac{1}{\omega^2 C^2}}$$

$$\omega C_p = \frac{1/\omega C}{R^2 + \frac{1}{\omega^2 C^2}}$$



$$f_g S = \frac{V/R_p}{V\omega C_p} = \frac{1}{\omega C_p R_p}$$

Filtri.

RC

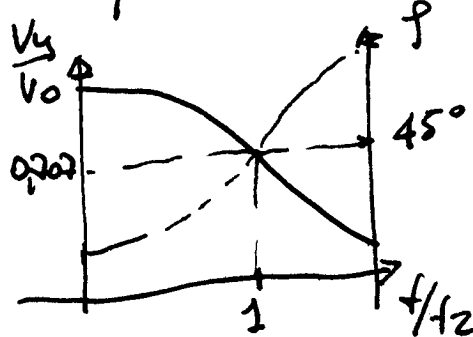
$$V_u = \frac{V_o}{\sqrt{1 + \omega^2 R^2 C^2}}$$

$$V_u = \frac{\frac{1}{j\omega C}}{R + \frac{1}{j\omega C}} V_o ; V_u = \frac{1}{1 + j\omega RC} V_o$$

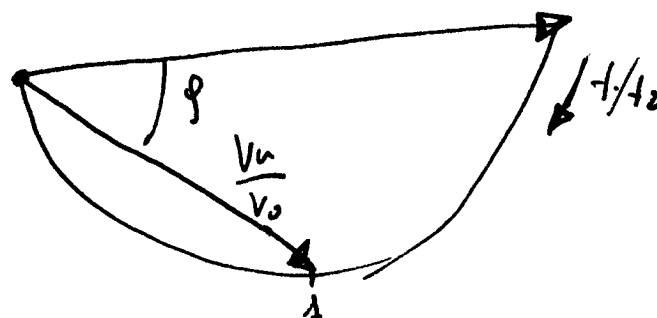
- anctg ωRC

V_u in ritardo e $< V_o$

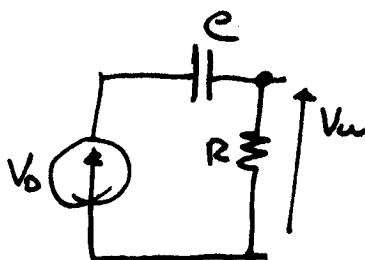
frequency di taglio superiore $\omega_2^2 R^2 C^2 = 1 \Rightarrow f_2 = \frac{1}{2\pi R C}$
 $\omega_2 R C = 1$



$$\frac{V_u}{V_o} = \frac{1}{\sqrt{1 + \left(\frac{f}{f_2}\right)^2}}$$



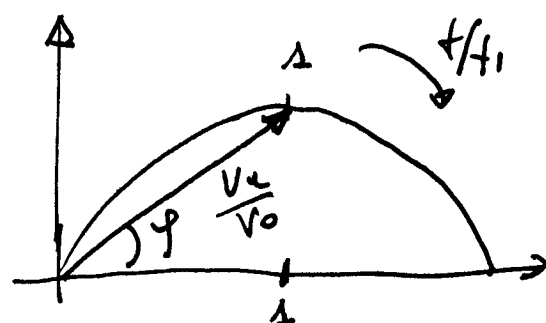
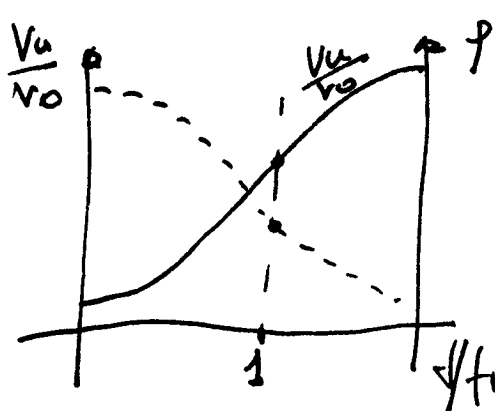
Situazione preferenziale alle basse frequenze
filtro passo-basso.



$$V_u = \frac{V_o \cdot R}{R + \frac{1}{j\omega C}} = \frac{V_o}{1 + \frac{1}{j\omega RC}}$$

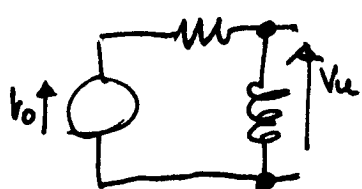
$$V_u = \frac{V_o}{\sqrt{1 + \frac{1}{\omega^2 R^2 C^2}}} \quad \text{orctg } \frac{1}{\omega RC}$$

$$f_1 = \frac{1}{2\pi R C}$$



$$\frac{V_u}{V_o} = \frac{1}{\sqrt{1 + \left(\frac{f}{f_1}\right)^2}}$$

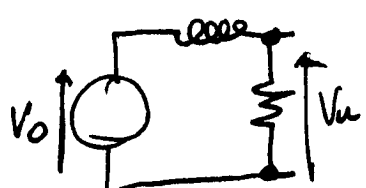
Circuito RL



$$V_u = V_0 \frac{1}{1 - j \frac{R}{\omega L}}$$

$$\frac{V_u}{V_0} = \frac{1}{\sqrt{1 + (\frac{R}{\omega L})^2}} \quad f_1 = \frac{R}{2\pi L}$$

ang $\frac{R}{\omega L}$



$$\frac{V_u}{V_0} = \frac{1}{1 + j \frac{\omega L}{R}}$$

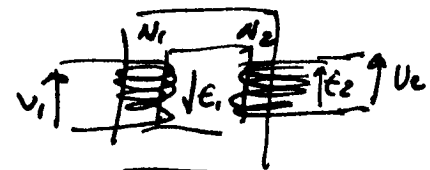
$$\frac{V_u}{V_0} = \frac{1}{\sqrt{1 + (\frac{\omega L}{R})^2}} \quad t_2 = \frac{R}{2\pi L}$$

-ang $\frac{\omega L}{R}$

TRASFORMATORI

Analogo su un circuito magnetico

- ideale: resistenze omogenee sulle tutto il flusso concatenato



$$V_1 = V_{\text{corretto}} \rightarrow \text{autoinduzione } e_1 = -N_1 \frac{d\phi}{dt} \quad V_1 + e_1 = 0$$

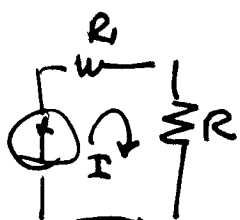
$$V_{\text{corretto}} - N_1 \frac{d\phi}{dt} = 0 \quad \phi = \frac{V_1}{N_1 w} \sin \omega t = \phi_M \sin \omega t$$

Nel secondario concatenato con N_2 spire si genera:

$$e_2 = -N_2 \frac{d\phi}{dt} = -\frac{V_1 \cdot N_2}{N_1} \cos \omega t$$

elevatore di tensione se $\frac{N_2}{N_1} > 1$ e abbassatore se $\frac{N_2}{N_1} < 1$

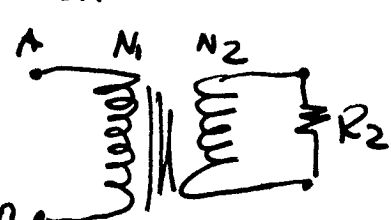
Adattamento di impedenze.



determinare max trasferimento di potenza

$$I = E / (R + R_i) \quad P = RI^2 = \frac{RE^2}{(R + R_i)^2}$$

$$\frac{dP}{dR} \rightarrow \text{max trasferimento se } R = R_i$$



$$\text{In assenza di perdite } P_1 = P_2 = \frac{V_1^2}{R_2} = \frac{V_1^2 N_2^2}{R_2 N_1^2}$$

$$= \frac{V_1^2}{N_1^2 \cdot R_2} \quad \tilde{t} \text{ come se il trasformatore non esistesse e ai versetti'}$$

$$A \cdot B \text{ contro } R_1 = \frac{N_1^2}{N_2^2} R_2$$

$$R_1 : R_2 = N_1^2 : N_2^2 \Rightarrow \text{adattament infedele.}$$

funzione periodica = termine costante (valore medio) + funzione sinusoidale di frequenza f (fondamentale) + infinite funzioni sinusoidali di frequenze multiple di f (o armoniche).

$$f(t) = A_0 + \sum_{n=1}^{\infty} A_n \cos n\omega t + \sum_{n=1}^{\infty} B_n \sin n\omega t$$

$$\circ f(t) = A_0 + \sum_{n=1}^{\infty} C_n \delta_{n,u} (n\omega t + \phi_n)$$

$$A_0 = \frac{1}{T} \int_0^T f(t) dt$$

$$A_n = \frac{2}{T} \int_0^T f(t) \cos n\omega t dt$$

$$B_n = \frac{2}{T} \int_0^T f(t) \sin n\omega t dt$$

$$C_n = \sqrt{A_n^2 + B_n^2}$$

$$\phi_n = \arctan \frac{B_n}{A_n}$$

T = periodo

- Determinazione di A_n

Integrandi $f(t)$ sono 0 e T :

$$\int_0^T f(t) dt = \int_0^T A_0 dt + \int_0^T \sum_{n=1}^{\infty} A_n \cos n\omega t dt + \int_0^T \sum_{n=1}^{\infty} B_n \sin n\omega t dt \\ = 0 \qquad \qquad \qquad = 0$$

$$\int_0^T f(t) dt = A_0 T \Rightarrow A_0 = \frac{1}{T} \int_0^T f(t) dt$$

- Determinazione del generico coefficiente A_k

$$f(t) \times \cos k\omega t =$$

$$= \int_0^T f(t) \cos k\omega t dt = \left[A_0 \cos k\omega t dt + \int_0^T \sum_{n=1}^{\infty} A_n \cos k\omega t \cos n\omega t dt + \right] \xrightarrow{k=0} 0$$

$$+ \int_0^T \sum_{n=1}^{\infty} B_n \sin k\omega t \cos n\omega t dt = \int_0^T \sum_{n=1}^{\infty} A_n \frac{\cos((n+k)\omega t) + \cos((n-k)\omega t)}{2} dt \xrightarrow{T} \frac{T}{2} A_k$$

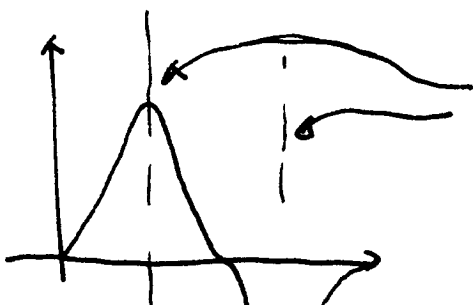
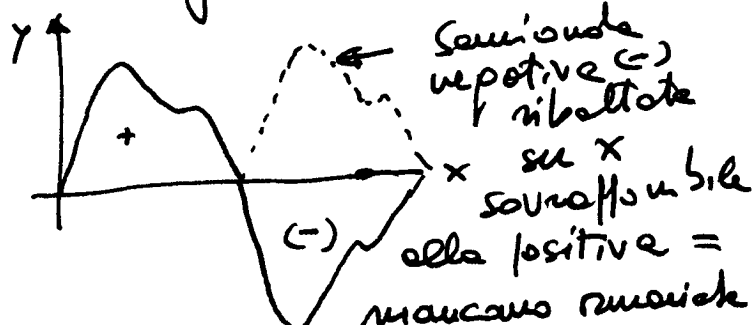
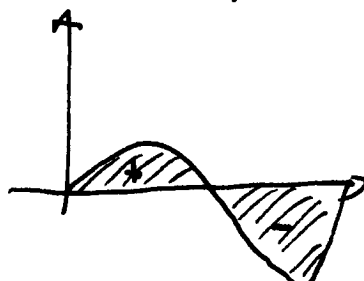
$$+ \int_0^T \sum_{n=1}^{\infty} B_n \frac{\sin((n+k)\omega t) - \sin((n-k)\omega t)}{2} dt \xrightarrow{k=0} 0$$

$$\int_0^T f(t) \cos kwt = \frac{T}{2} A_k$$

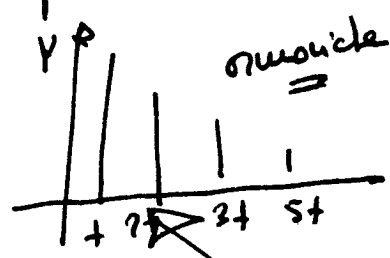
$$A_k = \frac{2}{T} \int_0^T f(t) \cos kwt dt$$

Stessa cosa per B_k moltiplicando $\times \sin kwt$

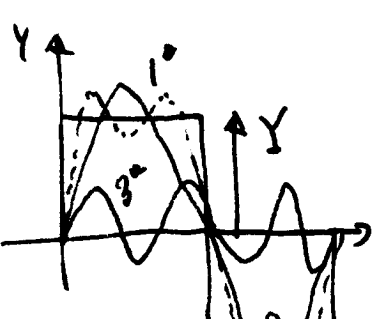
- segnale con area positiva = area negativa $A_0 = 0$



Simmetria rispetto ad un asse verticale
= mancano tutti i termini in cosine



D'onde situazioni nei fenomeni elettrici



Grā 1° e 3° ondaice rendono conto delle forme del segnale: ondawide importanti

$$y = \frac{1}{\pi} Y \left(\sin wt + \frac{1}{3} \sin 3wt + \frac{1}{5} \sin 5wt \dots \right)$$

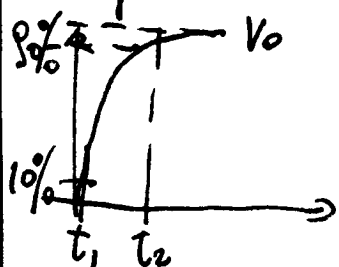
- bosse frequenze: dans un enroulement d'un fil impulsionnel

- altre frequenze: dans le rebond discontinuité (tempo solito)
- impossibile transmettere frequenze infinito: cofondi-fonction $\frac{1}{T}$

- Nella trasmissione di segnali per es. a prodino $\frac{1}{s}$

le componenti fronte che formano RC determinano una fronte con tempo di salita fatto a $\frac{1}{e}$.

definire come il tempo fa passare dal 10% al 90% d'ampiezza



$$0,1V_o = V_o(t - e^{-\frac{t-t_1}{RC}}) \quad e^{\frac{(t_2-t_1)}{RC}} = 9 \quad t_s = t_2 - t_1$$

$$0,9V_o = V_o(t - e^{-\frac{t-t_1}{RC}}) \quad = \frac{0,9}{9} e^{\frac{t_2-t_1}{RC}}$$

$$\underline{t_s = 2.2RC}$$

tempo di salita fronte attorniato alla frequenza di taglio superiore \Rightarrow dominio del tempo \Leftrightarrow dominio della frequenza.

$$RC = \frac{1}{2\pi f_2} \quad t_s = 2.2 \frac{1}{2\pi f_2} = 0,35/f_2$$

Allo stesso tempo trasferimenti di segnali con disaccoppiamenti $\frac{1}{s+1}$ o trasformazione alle basse-frequenze determina il ritorno a 0 del prodino permettivamente $\frac{1}{s+1} \rightarrow \frac{1}{s}$

$$\underline{t_{eff}} \quad t_e = \frac{1}{2\pi f_1} = \frac{0,16}{f_1} \quad RC = \frac{1}{2\pi f_1}$$

nella trasmissione di segnali ottimano distorsioni (tempo di salita e "t_eff") e sfasamenti (in frequenze f_2, f_1).

Decibel Plots.

passo basso/alta frequenza : $20 \lg \left[\frac{1}{1 + \left(\frac{f}{f_2} \right)^2} \right]^{1/2} = 10 \lg \frac{1}{1 + \left(\frac{f}{f_2} \right)^2}$

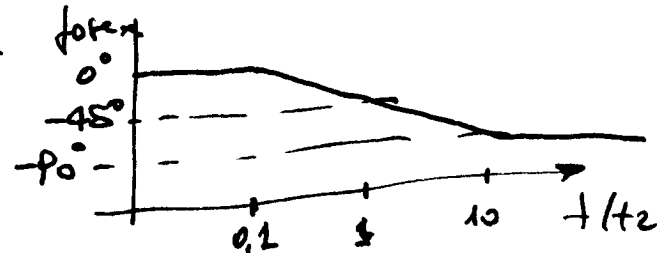
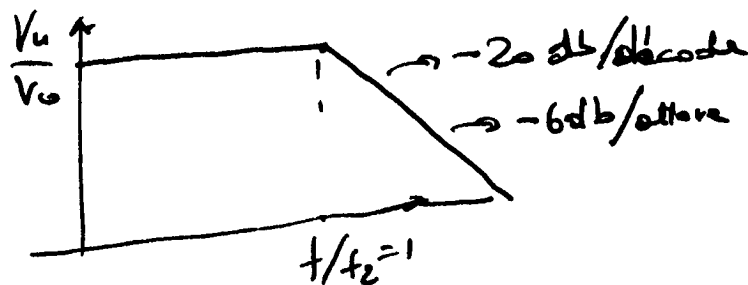
$$= -10 \lg \left[1 + \left(\frac{f}{f_2} \right)^2 \right] \quad \text{se } f/f_2 < 1 \Rightarrow \underline{0 \text{ db}}$$

$$\text{fa } \frac{f}{f_2} = 1 \Rightarrow -10 \lg 2 = -\underline{3 \text{ db}}$$

$$\text{fa } \frac{f}{f_2} > 1 \Rightarrow 10 \lg \frac{1}{\left(\frac{f}{f_2} \right)^2} = -20 \lg \frac{f}{f_2} \quad \underline{20 \text{ db}/10}$$

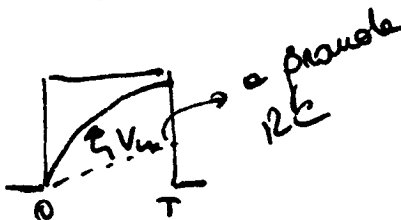
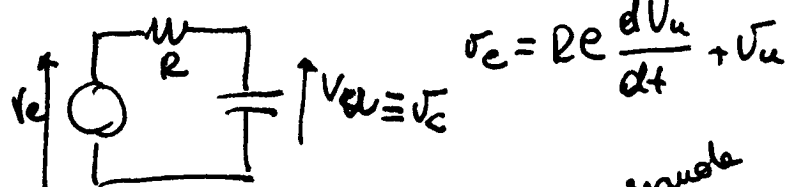
-6dB/ottava per $f/f_2 = 2$ 8
 Autore del diagramma:
 di Bode

vedi filtro RC pag. 3 \Rightarrow per $f < f_2$ $\phi = 0^\circ$
 $f > f_p$ $\phi = -90^\circ$
 $f = f_p$ $\phi = -45^\circ$



Sarà poi nel dominio della frequenza.

Ora dominio del tempo.



$$V_u = V_E \left(1 - e^{-\frac{t}{RC}} \right)$$

$$V_E = V_E e^{-\frac{t}{RC}}$$

$$i = \frac{V_E}{R} e^{-\frac{t}{RC}}$$

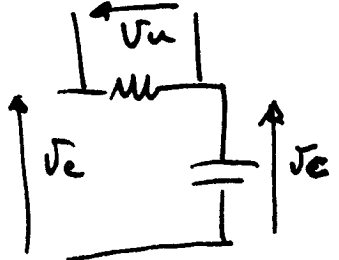
- a grande RC la risposta è quasi rettilinea \Leftrightarrow se

$$V_E - V_u \approx V_E \Rightarrow V_C = RC \frac{dV_u}{dt} \Rightarrow V_u = \frac{1}{CR} \int_0^t V_E dt$$

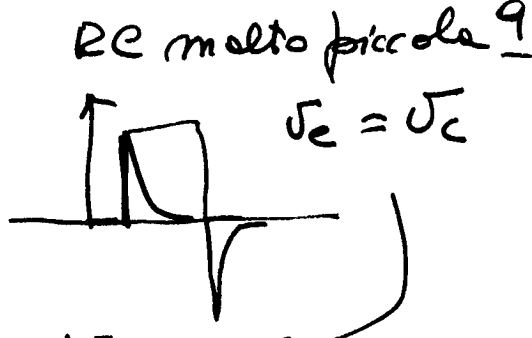
\Rightarrow integratore

La tensione di uscita V_u integra la tensione

di ingresso.



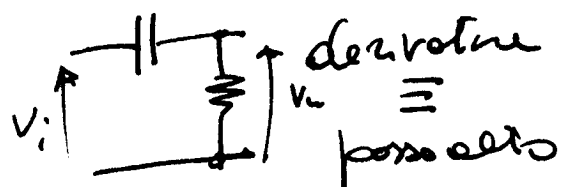
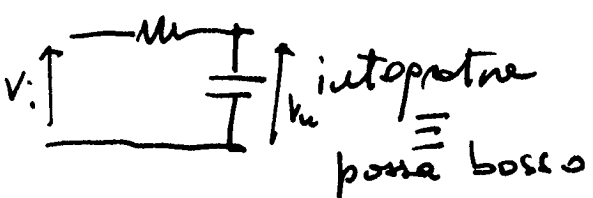
$$V_c = R C \frac{d V_c}{dt} + V_c$$



derivate impulsi $\Leftrightarrow R C \frac{d V_c}{dt}$

di impresso

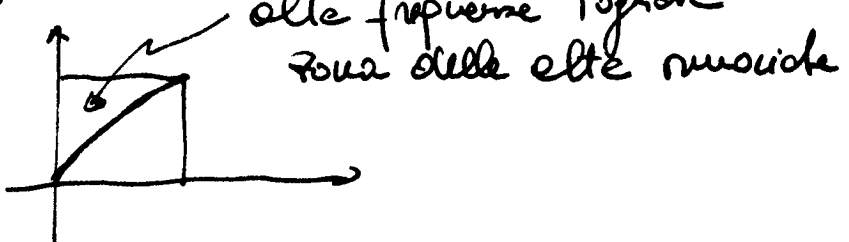
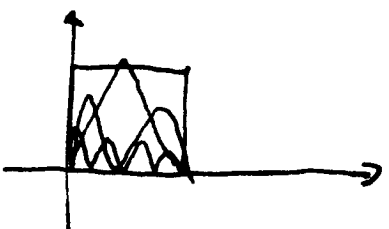
In definitiva:



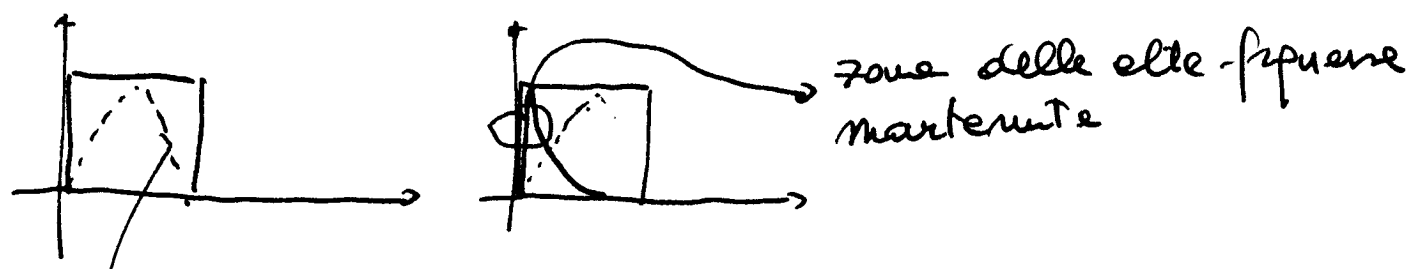
dominio del tempo (integrazione / derivazione) strettamente correlato col dominio delle frequenze (posta alto / posta bassa)

Scomponendo gli impulsi temporali in numeri di Fourier troviamo che :

- un integratore legge il tempo e soltanto dell'impulso: i tempi di solita sono determinati dalle alte frequenze ed infatti l'integratore o posta bassa toglie le alte frequenze.

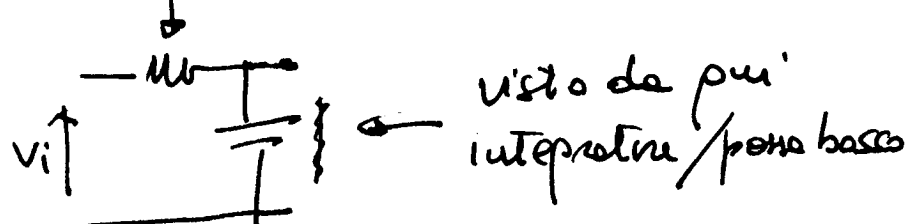


- un derivatore al contrario mantiene il fronte di solita. Infatti è posta alto, le alte frequenze vengono mantenute.

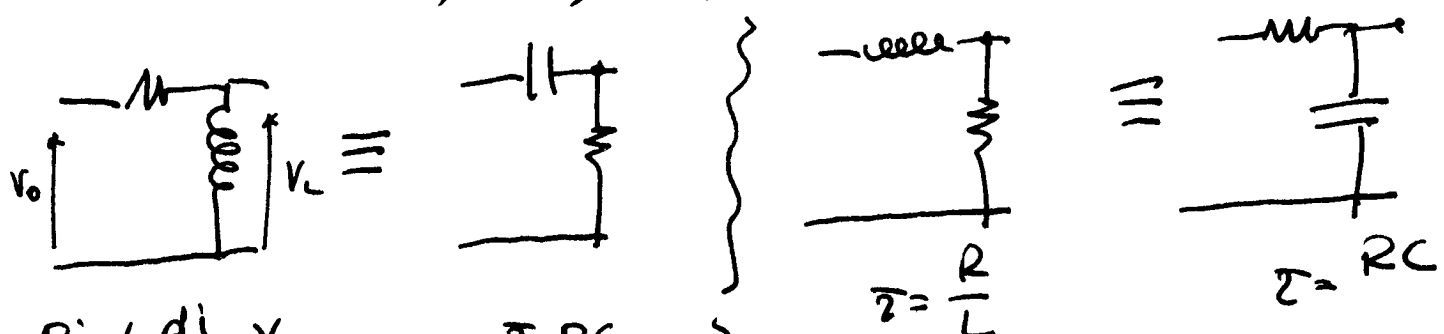


base escape frequenze topate. \downarrow visto da più destra / posso uscire
zone delle alte-frequenze mantenute.

Fu conclusione



- Dualità RC, CR, RL, LR



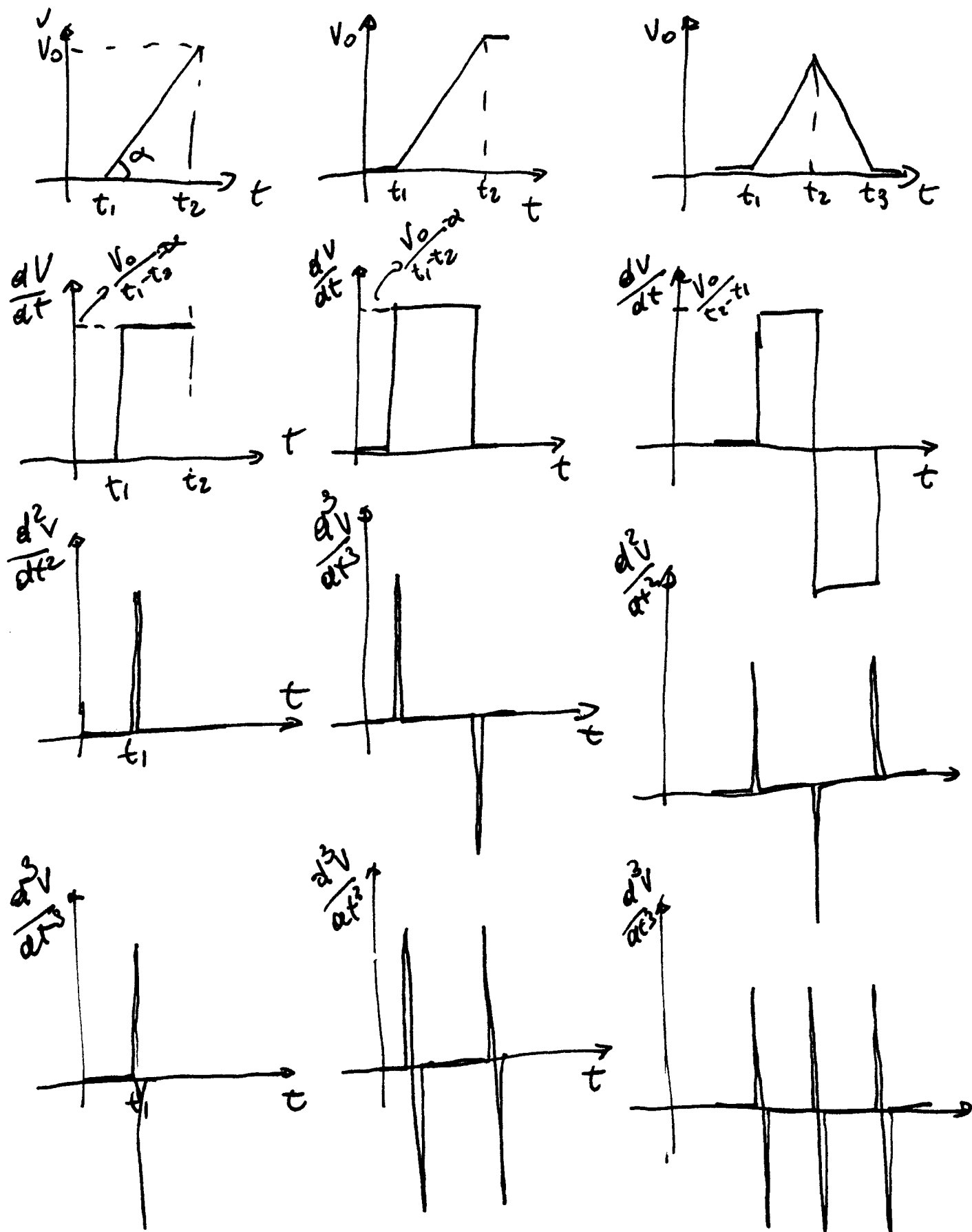
$$Ri + L \frac{di}{dt} = V_o \quad T = RC$$

$$i = \frac{V_o}{R} \left(1 - e^{-\frac{R}{L}t}\right) \quad V_L = V_o e^{-\frac{R}{L}t}$$

$$T = \frac{R}{L}$$

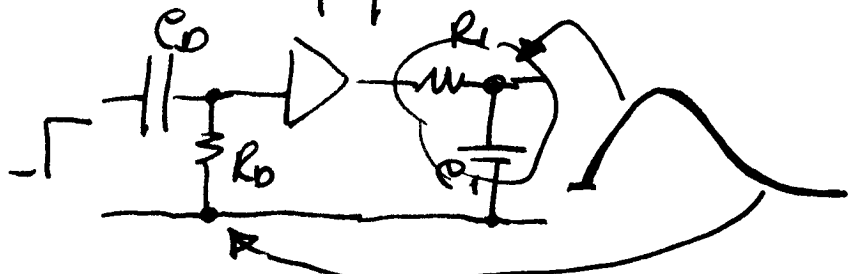
$$\text{da } V_L = L \frac{di}{dt}$$

Con derivacion ed integracion de resultados frame 11
d'onde.



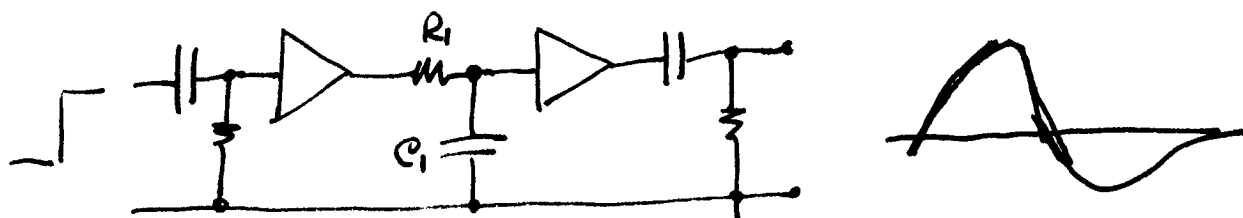
12
Generazione di forme d'onda
con circuiti di filtri.

- $-CR - R\dot{C}$ shaping per migliore il rapporto segnale rumore quando il rumore accompagnava il segnale. Cambiare le forme sposta lo spettro di frequenze e filtra alcune frequenze. Ciò fa male di migliore il rapporto segnale rumore se il rumore è corrisposto su certe frequenze.



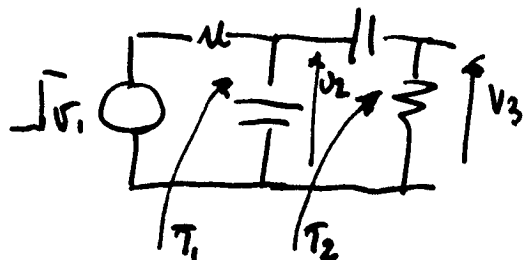
- ← interpretazione: elmina rumore ad alta frequenza
- ← si mantiene il segnale "su" per un tempo tale da consentire anche di amplificare.

- Prezise di impulsi bipolari:

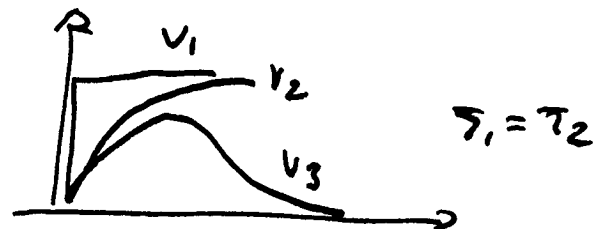
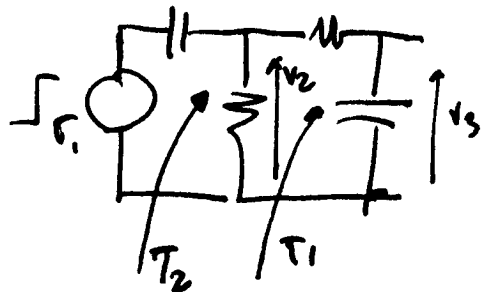


E tutti gli RC possono essere visti se rotoliam
sono disaccoppiati da operazioni con alte
di e basse freg.

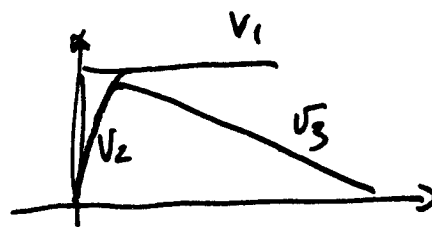
APLICI esempi:



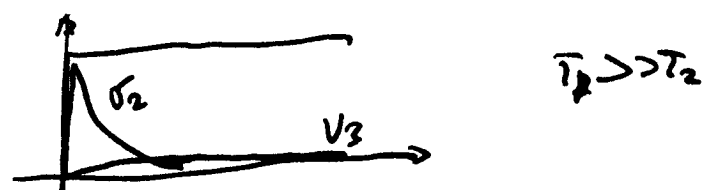
oppure scambi:



$$T_1 = T_2$$



$$T_1 \ll T_2$$



$$T_1 \gg T_2$$

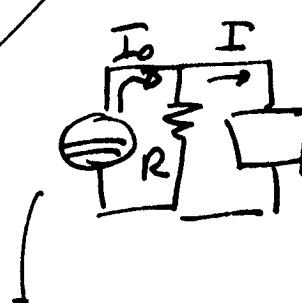
TEOREMI GENERALI:

- GENERATORE DI TENSIONE
- GENERATORE DI CORRENTE

Reale:
 $V = E_0 - RI$

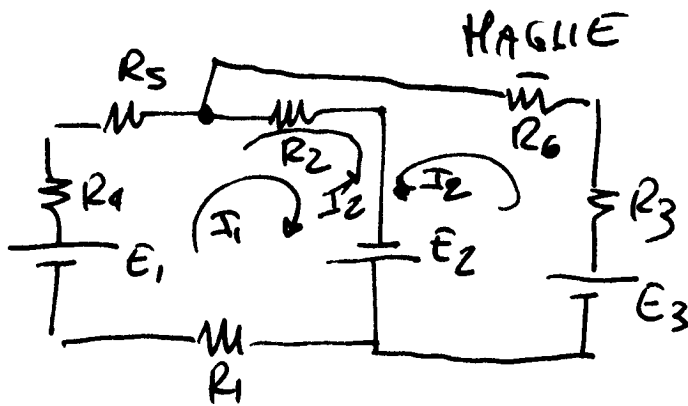


$R \neq 0$
 V non dipende
dalla corrente
esistente nel
cavio



$R \rightarrow \infty$
 I non dipende
dalla tensione V
che ti viene a
vere di messo.

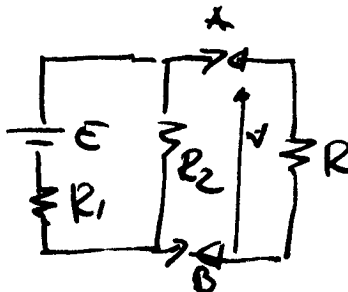
$$I = I_0 - \frac{V}{R}$$



- Senso convenzione teorema $\frac{I_1 + I_2}{I_3} \neq V$
- se impongo 2 ampi arbitrie I_1 ed I_2 , il segno deve se sono giuste in verso o no. La tensione ai capi di una resistenza \bar{R}_4 le crea. I ha verso per convenzione degli ioui' positivi' V4 = \bar{V} affatto alla creata. Allora:

$$\begin{cases} R_1 I_1 - E_1 + R_4 I_1 + R_5 I_1 + R_2 (I_2 - I_3) + E_2 = 0 \\ E_2 + R_7 I_3 + E_3 + R_8 I_3 + R_6 I_3 - R_2 (I_2 - I_3) = 0 \\ I_2 = I_1 - I_3 \end{cases}$$

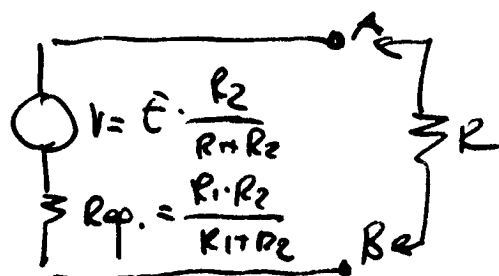
—
Therein.



equivalente a: V quando R è staccato
 $V = E \cdot \frac{R_2}{R_1 + R_2}$

Reg quando E è in PE visto da A-B

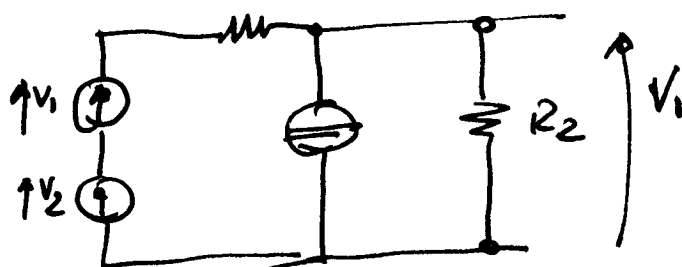
$$R_{eq} = \frac{R_1 \cdot R_2}{R_1 + R_2}$$



Principi di sovrapposizione.

15

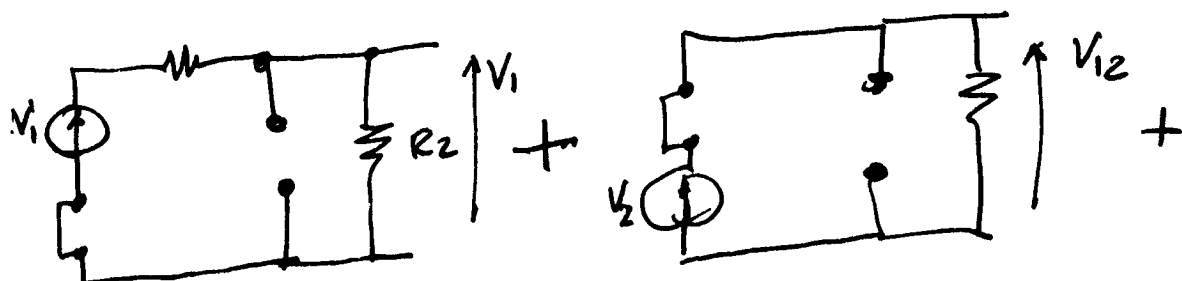
- con parametri di tensione
- con parametri di corrente.



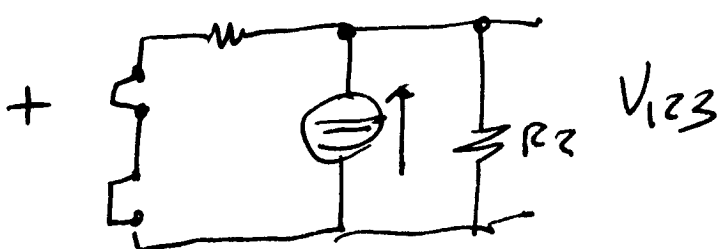
\Rightarrow parametri di tensione = circuito aperto

\Rightarrow generatore di tensione = cortocircuito

Sovrapposizione di:



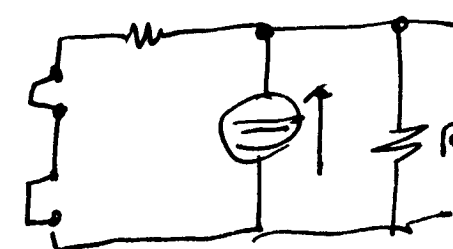
①



V_{12}

+

+



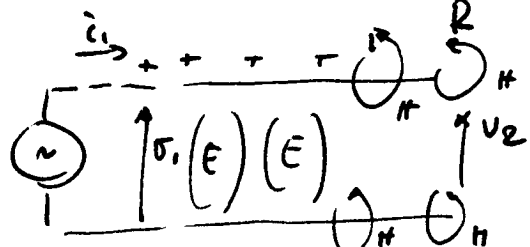
V_{123}

Lime - Trasfimenti segnali:

- se lunghezza d'onda λ > dimensione della rete no differenze di fase da un punto ad un altro della rete (es. SOTTOADATTATORE). Se le differenze aumentano oltre λ a dimensione rete \Rightarrow differenze di fase \Rightarrow linea di trasmissione.

linea/re linee \Rightarrow dipende la lunghezza d'onda e dimensione rete.

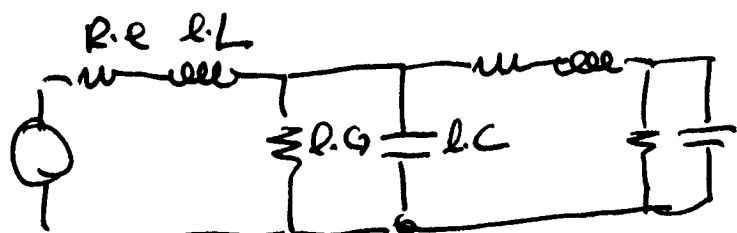
Se linea contiene una rete $\frac{1}{c}$



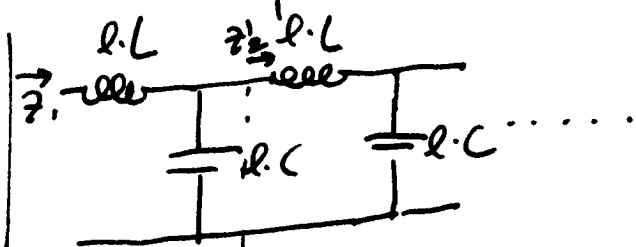
Linea divisa in sottosezioni
 $L \ll \lambda$

$V_1 \rightarrow V_2$ fa variazione su R

- sottosezione linea facile in modo che V non cambia col tempo entro cui conduttori corrispondono con $\frac{1}{T}$
- con tasselli metallici consenti circolanti variabili \Rightarrow campo magnetico + induzione su V_1 e V_2



In assenza di perdite



variazioni del segnale
nella cella identica tra
ogni buoni.

$$z_1 = j\omega L + \frac{z_2 \cdot j\omega C e}{z_2 + \frac{1}{j\omega C e}}$$

L'una delle $z_1 = z_2$
non è plausibile

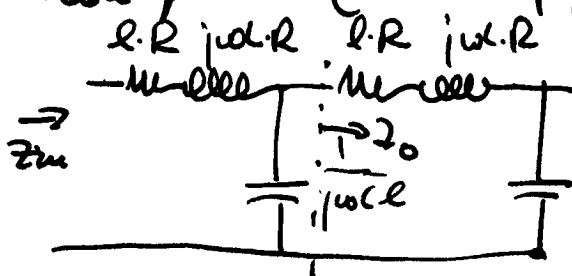
$$z_1^2 - z_1 j\omega L e - \frac{j\omega L}{j\omega C}$$

$$z_1^2 - j\omega L e \cdot z_1 = \frac{L}{C}$$

↳ due piane soluzioni

$$z_1 = \sqrt{\frac{L}{C}}$$

• con fondo (calcolo pag. 16).



$$Z_{in} = R + j\omega L + \frac{Z_0 \cdot j\omega C e}{Z_0 + \frac{1}{j\omega C e}} = Z_0$$

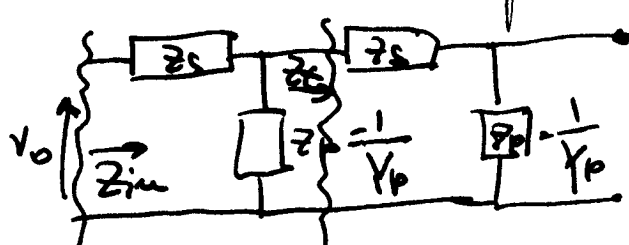
$$Z_0^2 + Z_0 (R + j\omega L) \cdot l = \frac{R + j\omega L}{j\omega C}$$

per una soluzione (l piccolo)

$$Z_0 = \sqrt{\frac{R + j\omega L}{j\omega C}} = \left[\frac{L}{C} \left(1 + \frac{R}{j\omega C} \right) \right]^{1/2}$$

per R piccolo espandendo: $Z_0 = \sqrt{\frac{L}{C}} \left(1 - j \frac{R}{2\omega C} \right)$

per la plausibilità



$$\text{L'una di } Z_{in} = Z_S$$

$$\text{con } Z_S = (R + j\omega L) \cdot l$$

$$Z_P = (G + j\omega C)l = \frac{1}{Y_P}$$

$$Z_{th} = Z_S + \frac{Z_P \cdot Z_T}{Z_P + Z_T} = Z_T$$

$$\times (Z_P + Z_T)$$

$$Z_S Z_P + Z_S Z_T + Z_P Z_T = Z_T \cdot Z_P + Z_T^2$$

$$Z_T = \frac{Z_S \pm \sqrt{Z_S^2 + 4 Z_S Z_P}}{2}$$

$$Z_T = \frac{1}{2} e(R + j\omega L) + \frac{1}{2} \sqrt{e^2 (R + j\omega L)^2 + 4 \frac{R + j\omega L}{G + j\omega C}}$$

$e \rightarrow 0$ soluzione

$$Z_T = \sqrt{\frac{R + j\omega L}{G + j\omega C}} = \sqrt{Z_S \cdot Z_P} = \sqrt{\frac{Z_S}{Y_P}}$$

Propagazione su una linea

per onde a sinistra

$$v \uparrow \quad \begin{array}{c} i \\ \overleftrightarrow{i} \\ \downarrow \end{array} \quad \frac{1}{R_0} \quad v = f_1(t - \frac{x}{u}) + f_2(t + \frac{x}{u})$$

↳ onda
destra

$$i = \frac{1}{R_0} \left[f_1(t - \frac{x}{u}) - f_2(t + \frac{x}{u}) \right]$$

↳ inversione dei correnti

In termini di $R \neq R_0$

$$\begin{aligned} & \approx 1 \rightarrow \\ & v(t - \frac{x}{u}) \text{ onde incidente} \\ & p v(t - \frac{2L}{u} + \frac{x}{u}) \text{ onde riflessa} \end{aligned}$$

tensione

$$\frac{1}{R_0} \rightarrow \frac{p}{R_0}$$

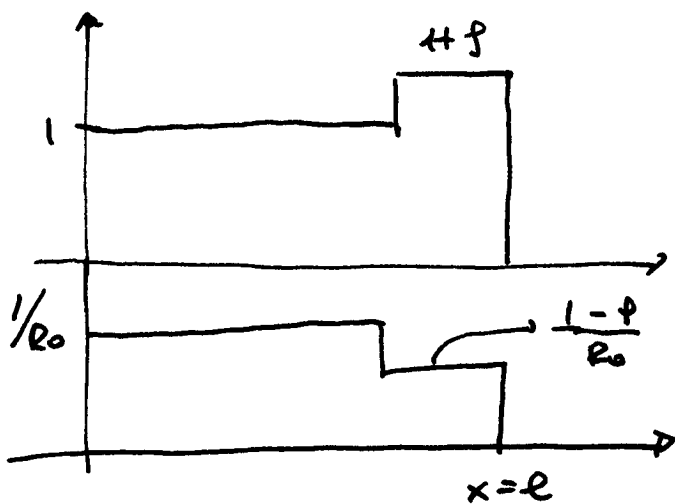
$$\text{corrente netta } \frac{1-p}{R_0}$$

corrente

tensione

$$R = \frac{1+p}{\frac{1-p}{R_0}}$$

$$p = \frac{R}{R_0} - 1$$

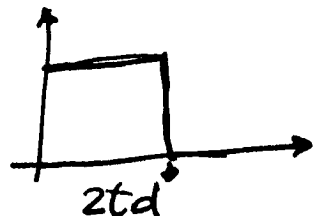
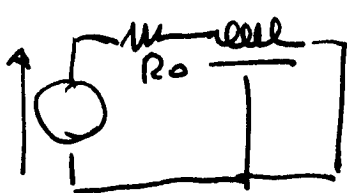


Qualifications:

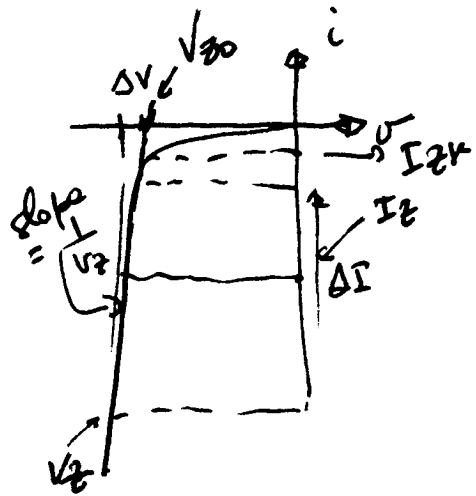
$f = +1 \quad R = \infty$ line of fire

$f = -1 \quad R = 0$ line of smoke

Exemplos: formation



Zener.



$$\Delta V = V_Z \Delta I$$

$$V_Z \sim \text{fischi} \cdot S_L$$

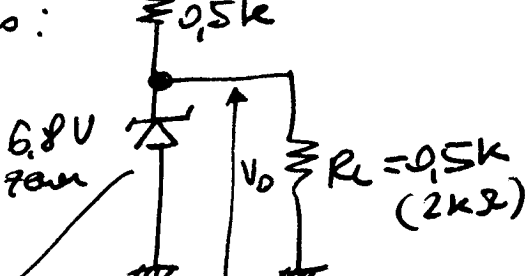
$\frac{\Delta V}{\Delta I}$
basso
 $R_Z \rightarrow 0$
alta V_Z
costante

ottiene regolazione di tensione V_Z

Esempio:

$$\begin{aligned} I_Z &= 5 \text{ mA} \\ I_{ZK} &= 0,2 \text{ mA} \\ V_Z &= 20 \text{ mV} \end{aligned}$$

$$V(10 \text{ mV})$$



$$\frac{6.8 \text{ V}}{I_Z + I_{ZK}}$$

$$\begin{aligned} \text{Con } R_L = 2 \text{ k} \Omega &= R \\ \frac{6.8 \text{ V}}{2 \text{ k}} &= 3.4 \text{ mA} \rightarrow \Delta I_Z = -3.4 \text{ mA} \end{aligned}$$

$$\Delta V_o = 20 \text{ mV} \times 3.4 \text{ mA} = -68 \text{ mV}$$

1) Senza erico

$$I_Z \approx \frac{10 - 6.8 \text{ V}}{0.5 \text{ k} + 0.02} = 6.35 \text{ mA}$$

Se I_Z è di cambiamento
il cambiamento in
uscita è:

$$\begin{aligned} \Delta V_o &= \Delta V \cdot \frac{R}{R+R_Z} = \\ &= 1 \cdot \frac{20}{500+20} = \pm 38.5 \text{ mV} \end{aligned}$$

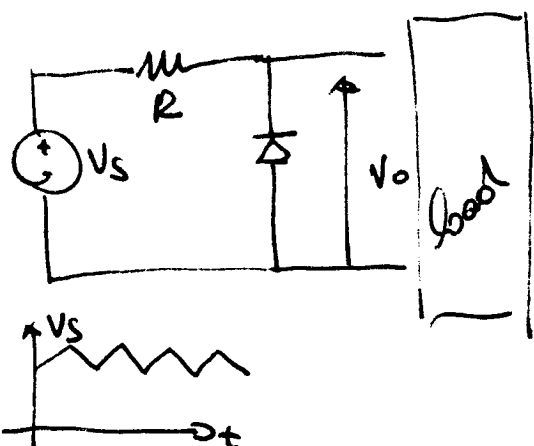
2) Con erico = 0.5 k

$$\frac{6.8 \text{ V}}{0.5 \text{ k}} = 13.6 \text{ mA} \rightarrow \text{Zener off.}$$

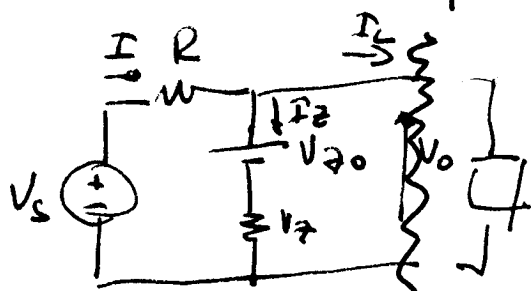
$$I_Z = 6.35 \text{ mA}$$

esiste erico minimo per
mantenere forza ON
 $\frac{10 - 6.8}{0.5} - 0.2 \text{ mA} \approx 1.4 \text{ mA}$ $R_L = \frac{6.8 \text{ V}}{1.4 \text{ mA}}$

- Dimensionamenti di Zener.



(\Rightarrow) Circuito equivalente:



V_o deve essere il più possibile costante rispetto al riferito di
 V_S e il più possibile indipendente dalla corrente di erico I_C

Dal circuito equivalente si ricava che:

(sovrafforzante degli effetti).

$$V_o = V_{Z_0} \frac{R}{R+V_Z} + V_S \frac{r_Z}{R+V_Z} - I_L (r_Z \| R)$$

↓ ↓
dipendenza dipendenza
da V_S da I_L

"line regulation" "load regulation"

$$\frac{\Delta V_o}{\Delta V_S}$$

~~$$\frac{\Delta V_o}{\Delta I_L}$$~~

- note di disage del regolatore: ossia che le correnti attraverso la Zener ~~sia~~ non sia troppo bassa, altrimenti V_Z sole e la Zener lavora in una regione impratica.
- Succede quando: $V_S = V_{S\min}$ $I_Z = I_{Z\min}$ $I_L = I_{L\max}$.

$$R = \frac{V_{L\min} - V_{Z_0} - r_Z I_{L\min}}{I_{Z\min} + I_{L\max}}$$

E.s. Sufficiente: $V_o = 7,5V$ $V_S = 15 \div 25V$ $I_L = 0 \div 15mA$

\downarrow

$V_Z = 7,5V$ $I_Z = 20mA$ $r_Z = 40\Omega$

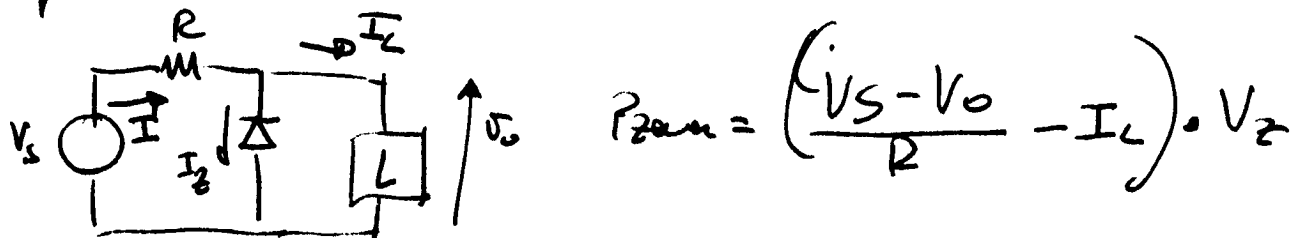
da $V_Z = V_{Z_0} + r_Z I_Z \Rightarrow V_{Z_0} = 7,3V$ $\rightarrow (\cancel{R = \frac{1}{3} I_L})$

$$R = \frac{15V - 7,3V - 0,02 \cdot 5mA}{5mA + 15mA} = 3825\Omega$$

"line regulation" = $\frac{r_Z}{r_Z + R} = 25,4 \frac{mV}{V}$

"load regulation" = $-(r_Z \| R) = -9,7 mV/mA$

Allo stesso tempo le potenze nelle zanne non deve superare un valore massimo

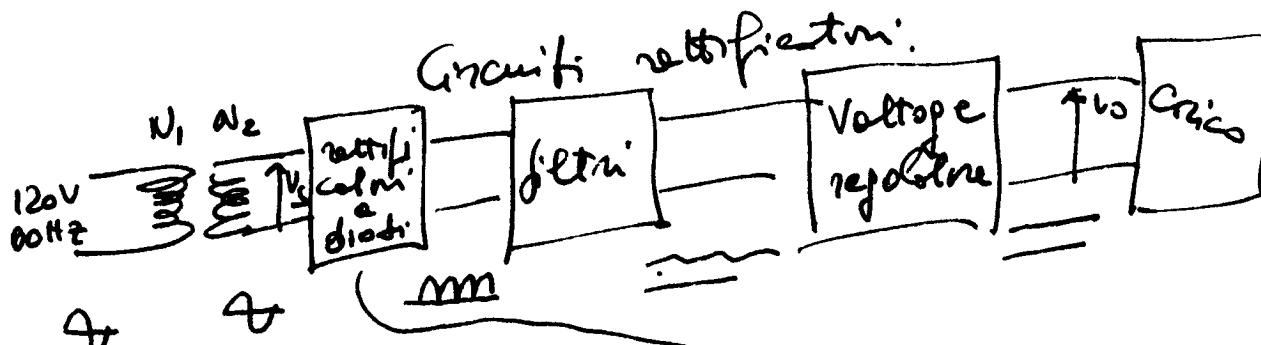


$$I = \frac{V_s - V_o}{R} = \text{corrente totale}$$

→ potere zanne I_z
→ potere nel carico I_L

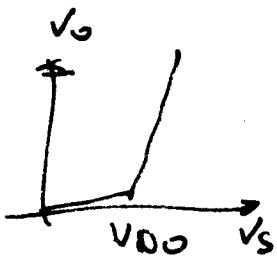
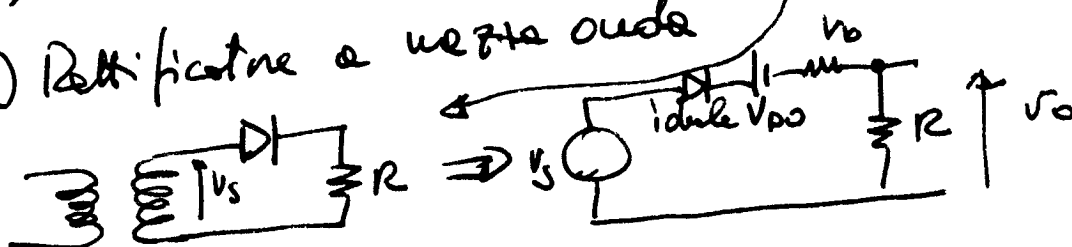
Se $I_L > I_z \Rightarrow$ Calcolo R critico

$$\hookrightarrow P_{Zann} = f(\cancel{I_z}, I_L)$$



N_1, N_2 determinano V_s

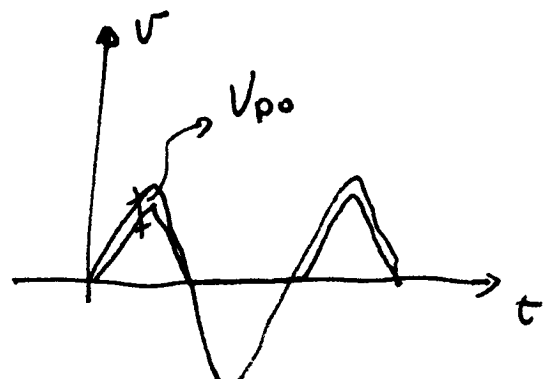
1) Rettificazione a mezza onda



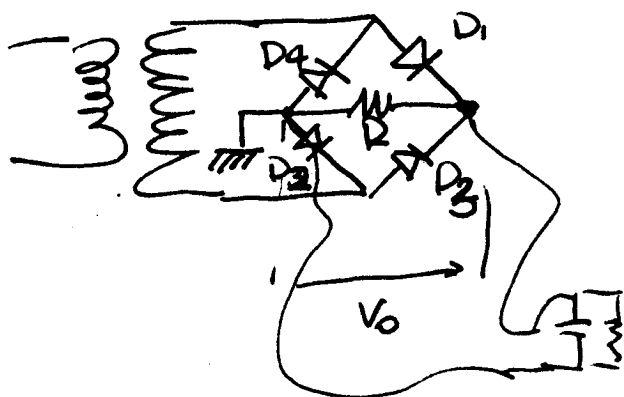
$$V_o = 0 \text{ per } V_s < V_{D0}$$

$$V_o = \frac{R}{R + r_b} V_s - V_{D0} \frac{R}{R + r_b} \text{ per } V_s \geq V_{D0}$$

$$\text{se } V_{D0} \ll R \quad V_o = V_s - V_{D0}$$

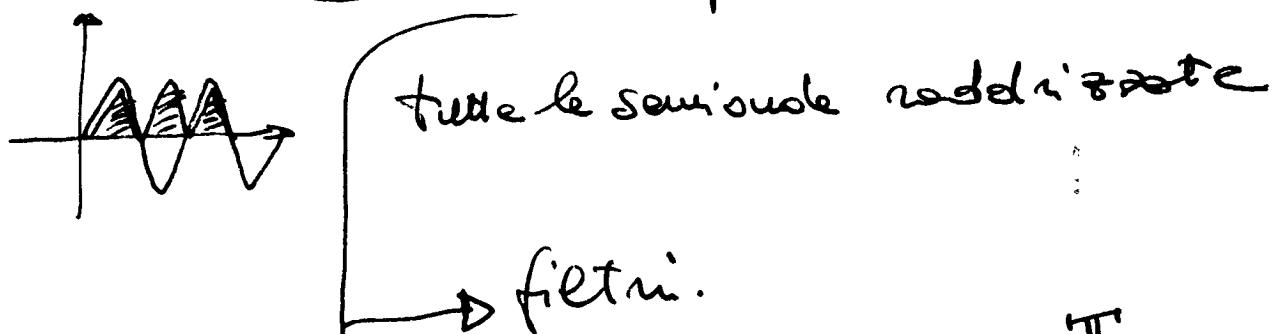


Retificazione a ponte

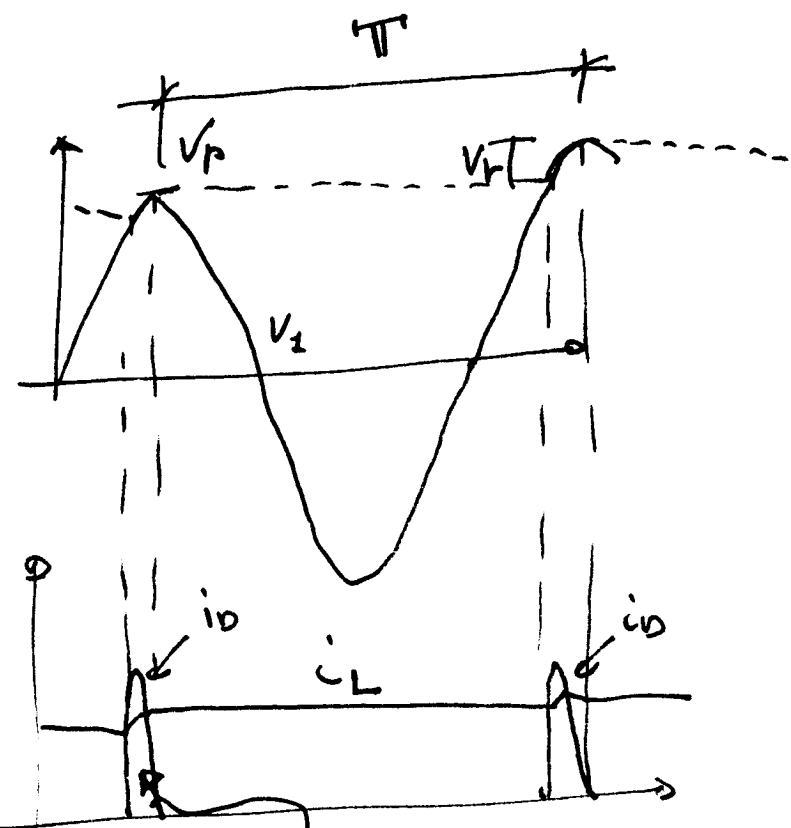
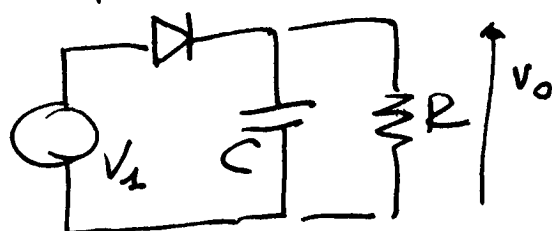


- semionda positiva:
percorso $D_1 \rightarrow R \rightarrow D_2$

- semionda negativa:
percorso $D_3 \rightarrow R \rightarrow D_4$



Principio.



$$RC \gg T$$

- Diodi conducono in un breve intervallo
- Durante ~~la semionda~~ il periodo di conduzione si estende su R (RC)
- $V_p - V_r = \text{ripple}$
- I_L quasi costante $= \frac{V_p}{R}$

$$V_o = V_p - \frac{1}{2} V_r \quad V_o = V_p e^{-t/RC}$$

alla fine della scarica:

$$V_p - V_r \sim V_p e^{-T/RC}$$

$$\text{Poiché } RC \gg T \Rightarrow e^{-T/RC} = 1 - \frac{T}{RC}$$

$$\Rightarrow V_r = V_p \frac{T}{RC}$$

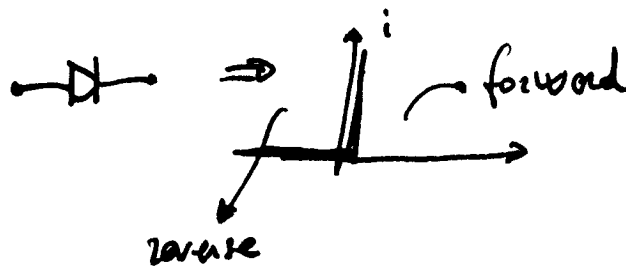
$$V_r = V_p / f \cdot RC \quad \xrightarrow{\text{ritrae}} \approx V_r$$

o per segnalicazione: $T_C = C \frac{\Delta V}{\Delta t}$

$$\frac{dV_p}{R}$$

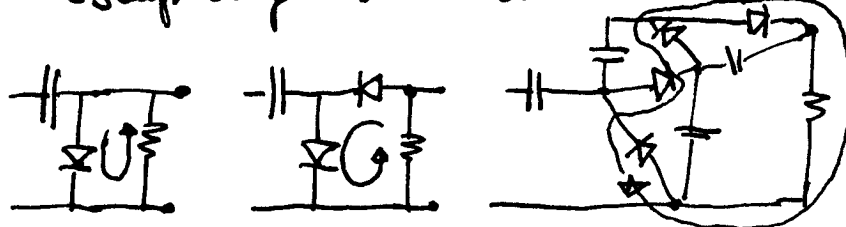
Diodi:

- elementi non lineari - rettificatori



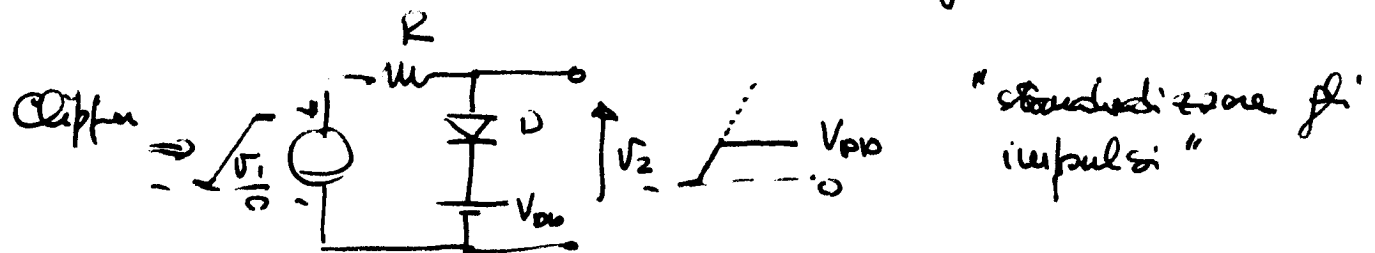
caratteristica
ideale: conduzione
in una unica verso

Esempi di fenomeni di conduzione:

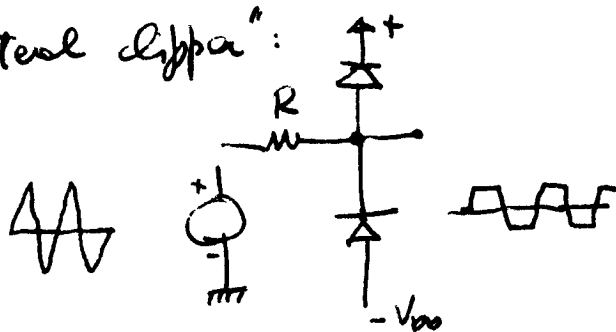


Circuiti "clipping" → limitano una tensione

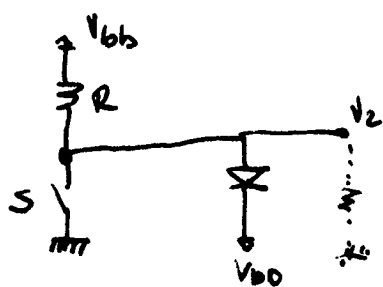
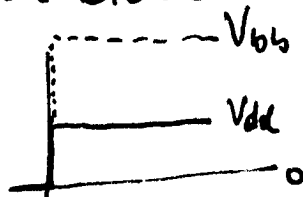
Circuiti "pickoff" → trasmettono solo il segnale che eccede una soglia



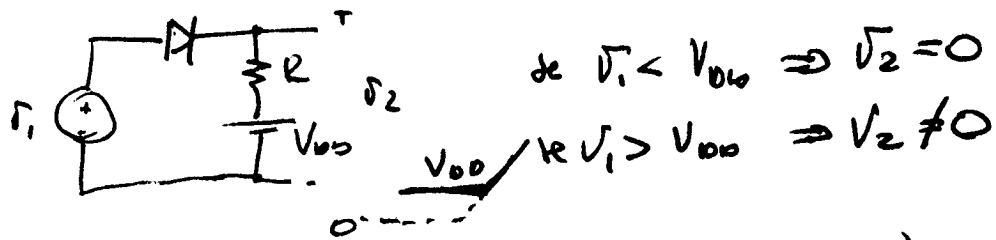
"bilateral clipper":



Lo switch cambia V_2 da 0 a V_{bb} senza diode
• V_{bb} con diodo



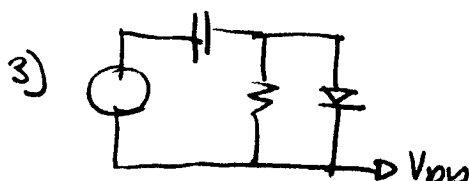
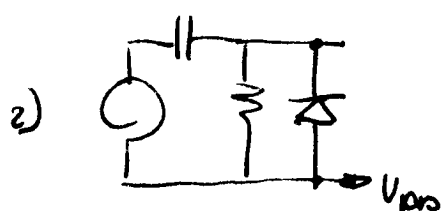
- Pick-off.



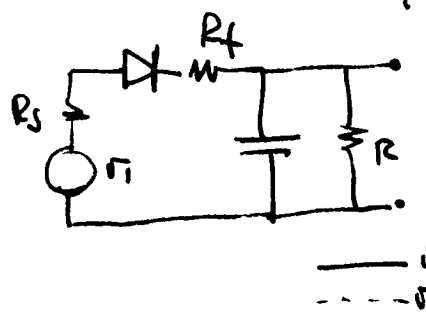
2

utile per eliminare piccoli segnali (eventualmente noise)

- Ristori con elementi rettifici:



Pulse stretching



C si scarica con costante di tempo $(R_S + R_T)C$

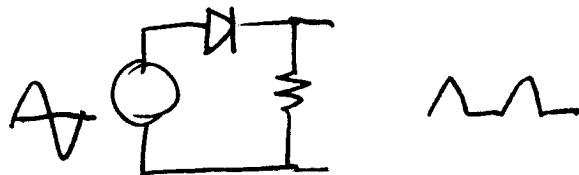
$(R_S + R_T)C$

- la scarica avviene
all'opposto R molto più
grande \Rightarrow decadimento
lungo.

- la scarica può avvenire anche con interruttori:



Diodi come retificatori:



conduce solo su una semionda

Carakteristische temute delle giunzioni:

Regione diutta

$$i = I_s (e^{\frac{V}{nV_T}} - 1)$$

I_s = cte per un
dado diodo



$$V_T = \text{thermal voltage} = \frac{kT}{q}$$

$$20^\circ\text{C} \quad V_T = 25\text{mV}$$

$n = 1 \div 2$ dipende da diodo e
materiali.

per larghezze e tensioni $i = I_s e^{\frac{V}{nV_T}}$

$$\sigma = nV_T \ln \frac{i}{I_s}$$

$$V_2 - V_i = nV_T \ln \frac{I_2}{I_i} \quad \text{per avendo (fattore 10)} \quad \Delta V = 60\text{mV}$$

Regione inversa

Σ di voltive e poche volte $> V_T \Rightarrow i = -I_s \Rightarrow$

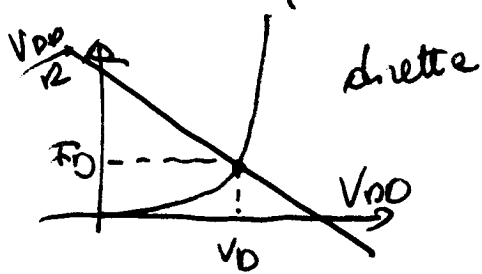
I_s = costante di saturazione.

Successive ripetute \rightarrow breakdown

\Rightarrow Zener

ripiave non distruttive se le corrente viene limitata

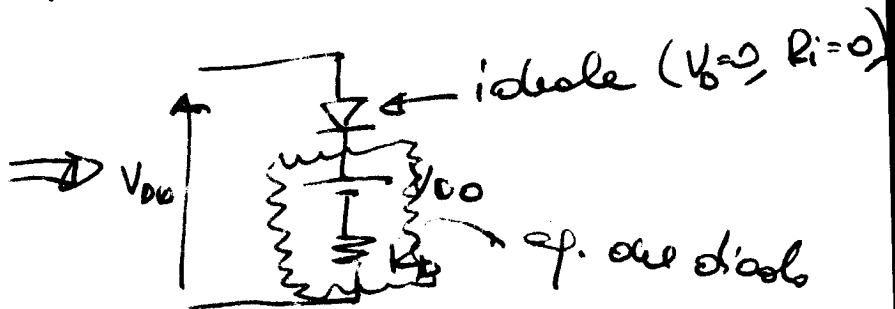
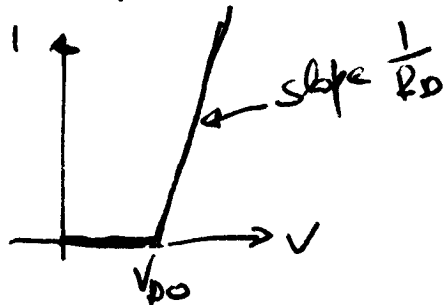
Soluzioni grafiche:



oppure analiticamente fissando $V_D = 0,7 \times$

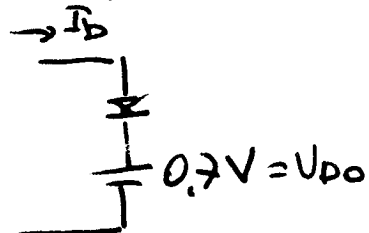
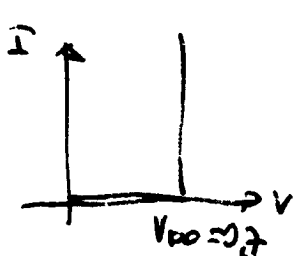
$$I_D = \frac{V_{D0} - 0,7}{R}$$

- oppure modello semplificato di diodo:



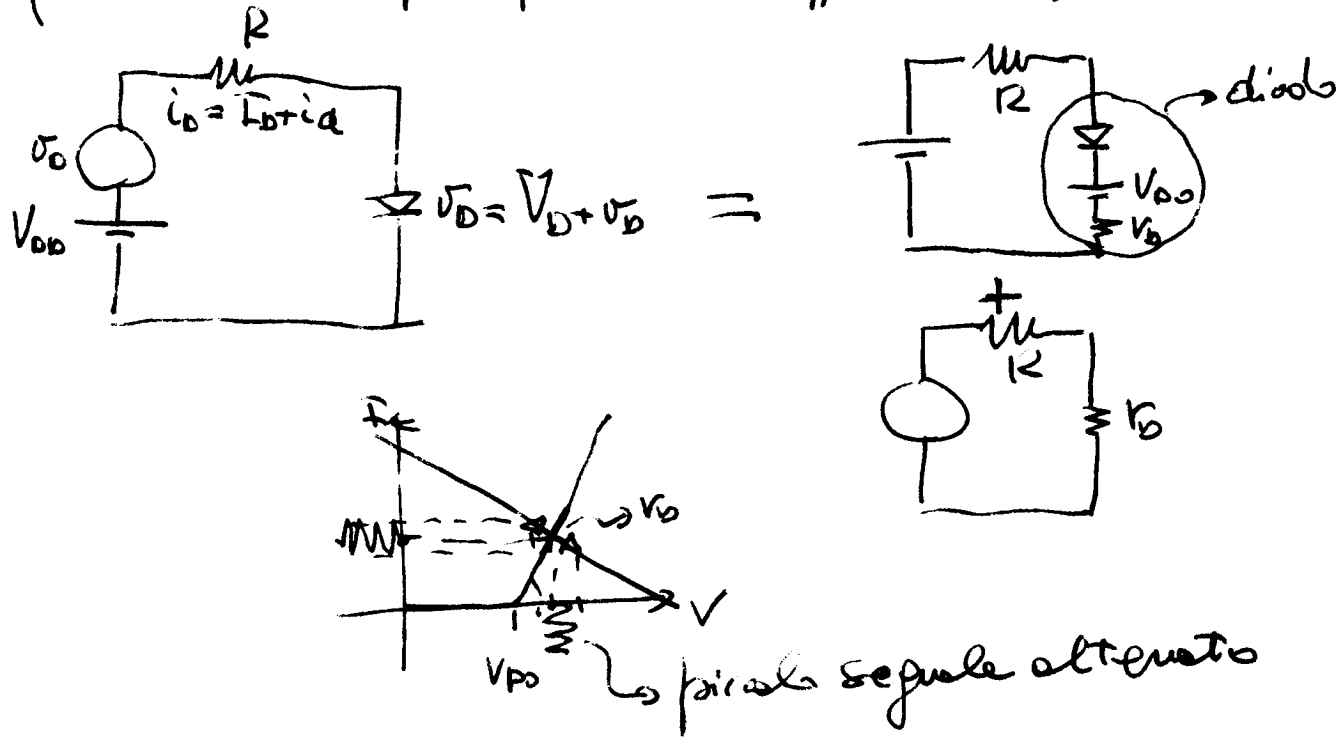
$$I_D = \frac{V_{D0} - V_D}{R + R_D}$$

- modello ancora più semplificato:



$$\bar{I}_D = \frac{V_{D0} - 0,7}{R}$$

Se sul punto di lavoro ($V_D + V_B$) si sovrappone un segnale alternato (modello fu piccoli segnali) allora si può invocare il principio di sovrapposizione:



Esercizio

$$V_T = 10V + 60\text{Hz}(f_T) \text{ di piccolo} \quad 1V \quad 1V = \text{ripple della corrente d'alimentazione}$$

$\Rightarrow R = 10k$

$$I_D = \frac{10 - 0,7}{10k} = 0,93 \text{ mA}$$

calcolo di V_D : se il segnale d'invio è piccolo

(modello fu piccoli segnali). $\frac{\partial D}{\partial V_T} \ll 1$. Si espanderà l'espansione

$$i_D = I_0 \cdot e^{\frac{V_D}{mV_T}} \Rightarrow i_D = I_0 \left(1 + \frac{V_D}{mV_T} \right) \left\{ \frac{1}{\frac{\partial i_D}{\partial V_D}} \right\} \Rightarrow r_D = \frac{mV_T}{I_0} \quad \text{per } u=2 \rightarrow \frac{2 \times 25}{0,93}$$

$$\text{La tensione sul diodo è } 2 \cdot \frac{r_D}{R+r_D} (\text{picco-picco}) = 53,8 \Omega \\ = 10,7 \text{ mV}$$

\Rightarrow attenuazione del rumore

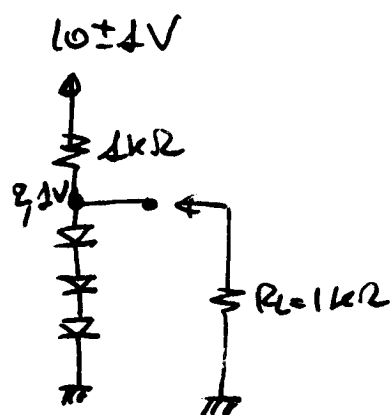
Un regolatore di tensione è un circuito che fornisce una costante d.c. Voltage. Pare essere costante indipendentemente da:

- cambiamenti delle correnti di carico
- cambiamenti del d.c. polarizzatore

In diretto il diodo ha $0,7V$ \Rightarrow superficie regolatrice e come visto con forte riduzione delle ripetute.

Tensioni maggiori di $0,7$ si ottengono sommando più diodi.

Esempio:



$$1) \text{ Senza carico: } I = \frac{10 - 2}{1} = 7,9 \text{ mA}$$

$$\text{resistenza di ogni diodo: } R_d = \frac{m V_T}{I}$$

per $m=2 \Rightarrow R_d = \frac{2 \times 25}{7,9 \text{ mA}} = 6,3 \Omega$

$$r_t = 6,3 \Omega \times 3 = 18,9 \Omega$$

$$\text{ripple (picco-picco)} = 2 \frac{r}{r+R} = 37,1 \text{ mV}$$

$\pm 18,5 \text{ mV}$
2 ripetute

2) Con carico

$$IR \text{ carico ottiene } \frac{2,1V}{1k\Omega} = 2,1 \text{ mA} \text{ per cui se } 7,9 \text{ mA}$$

si dividono nei diodi ($5,8 \text{ mA}$) e il carico ($2,1 \text{ mA}$).

$$\text{riduzione della tensione sui diodi} = 2,1 \times r = 39,7 \text{ mV.}$$